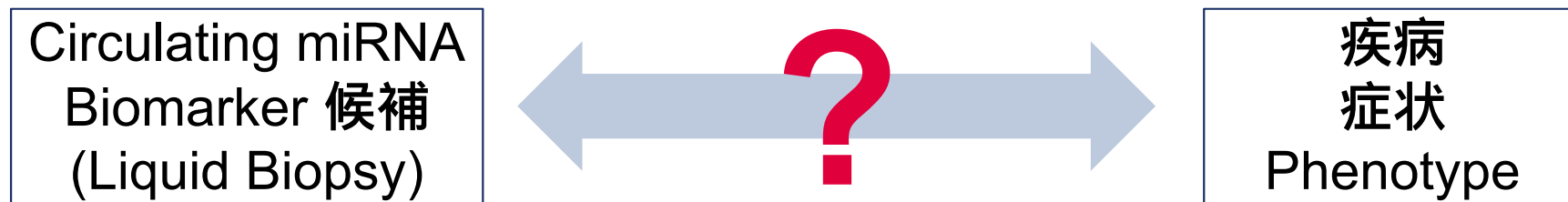


血漿中のmiRNAバイオマーカー探索からPathway 解析までのご紹介 — Liquid Biopsy の実用化に向けて —

株式会社キアゲン 北野 敦史

これまで、Circulating miRNA バイオマーカー候補と疾病や症状との相関は高いが、メカニズムは明らかになっていない報告が見られる



Circulating miRNA バイオマーカー候補の疾病や症状との関係を結び付ける事例と、QIAGEN の有用なツールを紹介する

PLoS One. 2014 Apr 2;9(4):e93297.

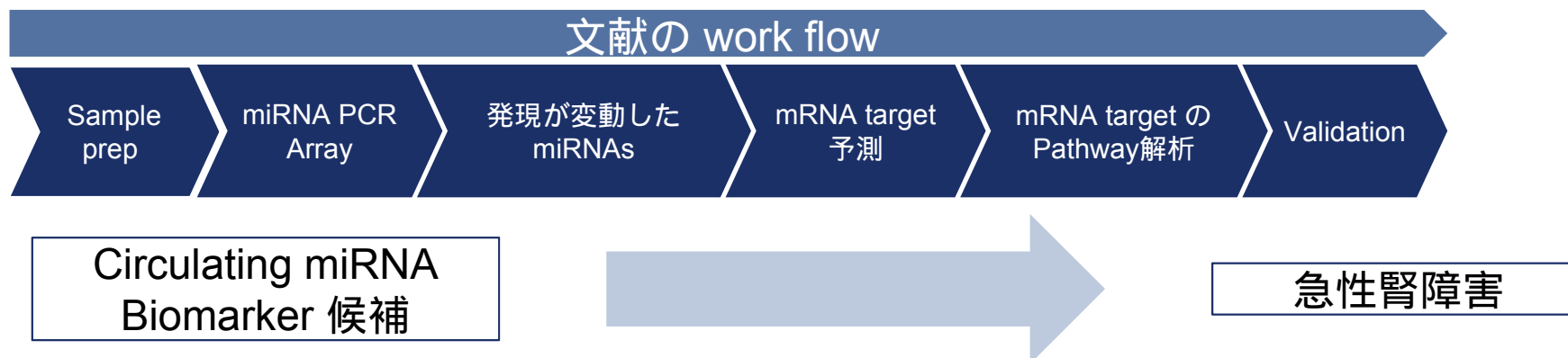
Concordant Changes of Plasma and Kidney MicroRNA in the Early Stages of Acute Kidney Injury: Time Course in a Mouse Model of Bilateral Renal Ischemia-Reperfusion

Melissa A. Bellinger¹, James S. Bean¹, Melissa A. Rader¹, Kathleen M. Heinz-Taheny², Jairo S. Nunes³, Joseph V. Haas⁴, Laura F. Michael¹, Mark D. Reikhter^{1*}

¹ Cardiometabolic Diseases and Diabetic Complications, Lilly Research Laboratories, Eli Lilly and Company, Indianapolis, Indiana, United States of America, ² Investigational Pathology, Lilly Research Laboratories, Eli Lilly and Company, Indianapolis, Indiana, United States of America, ³ Covance Laboratories, Greenfield, Indiana, United States of America, ⁴ Statistics-Discovery/Development, Lilly Research Laboratories, Eli Lilly and Company, Indianapolis, Indiana, United States of America

虚血再灌流障害モデルマウスのタイムコース実験の文献事例

早期の急性腎障害 (AKI) モデルマウスにおいて、血漿と腎臓で一致する発現変動の microRNAs の中から、急性腎障害に対して関係の高い Circulating miRNA Marker 候補が得られた



【急性腎不全】

虚血、薬剤、エンドトキシンショックなどの原因によって腎機能が急速に低下した状態

【急性腎不全モデル】

虚血再灌流、重金属、各種薬物などによる腎機能低下モデルが用いられている

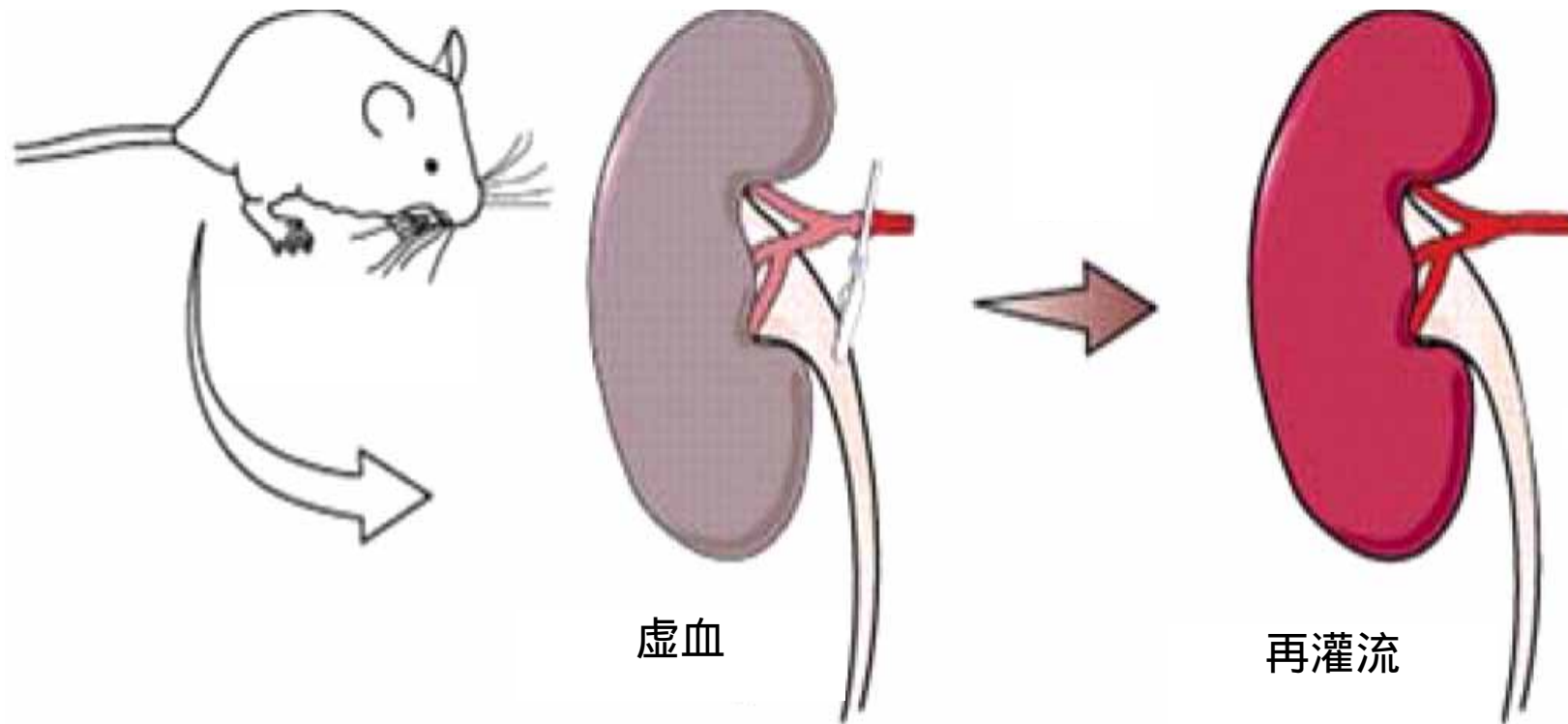
日薬理誌 (*Folia Pharmacol. Jpn.*) 131 , 37 ~ 42 (2008)

【虚血再灌流障害】

虚血状態にある臓器，組織に血液再灌流が起きた際に，その臓器・組織内の微小循環において種々の毒性物質の産生が惹起され引き起こされる障害をいう。

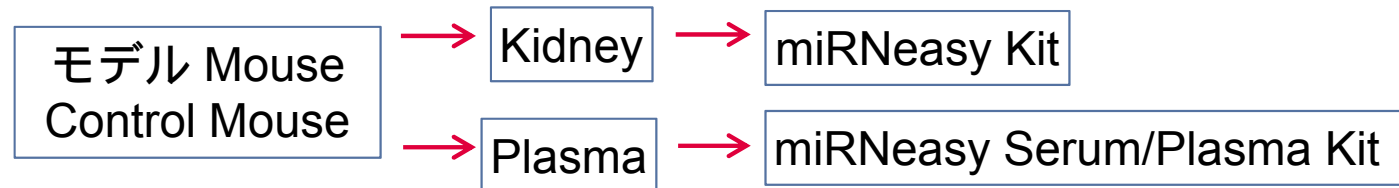
日本救急医学会・医学用語解説集

虚血再灌流モデル動物



Am J Physiol Renal Physiol 295: F310–F314, 2008. より改変

虚血再灌流障害を起こして急性腎不全のモデルとする

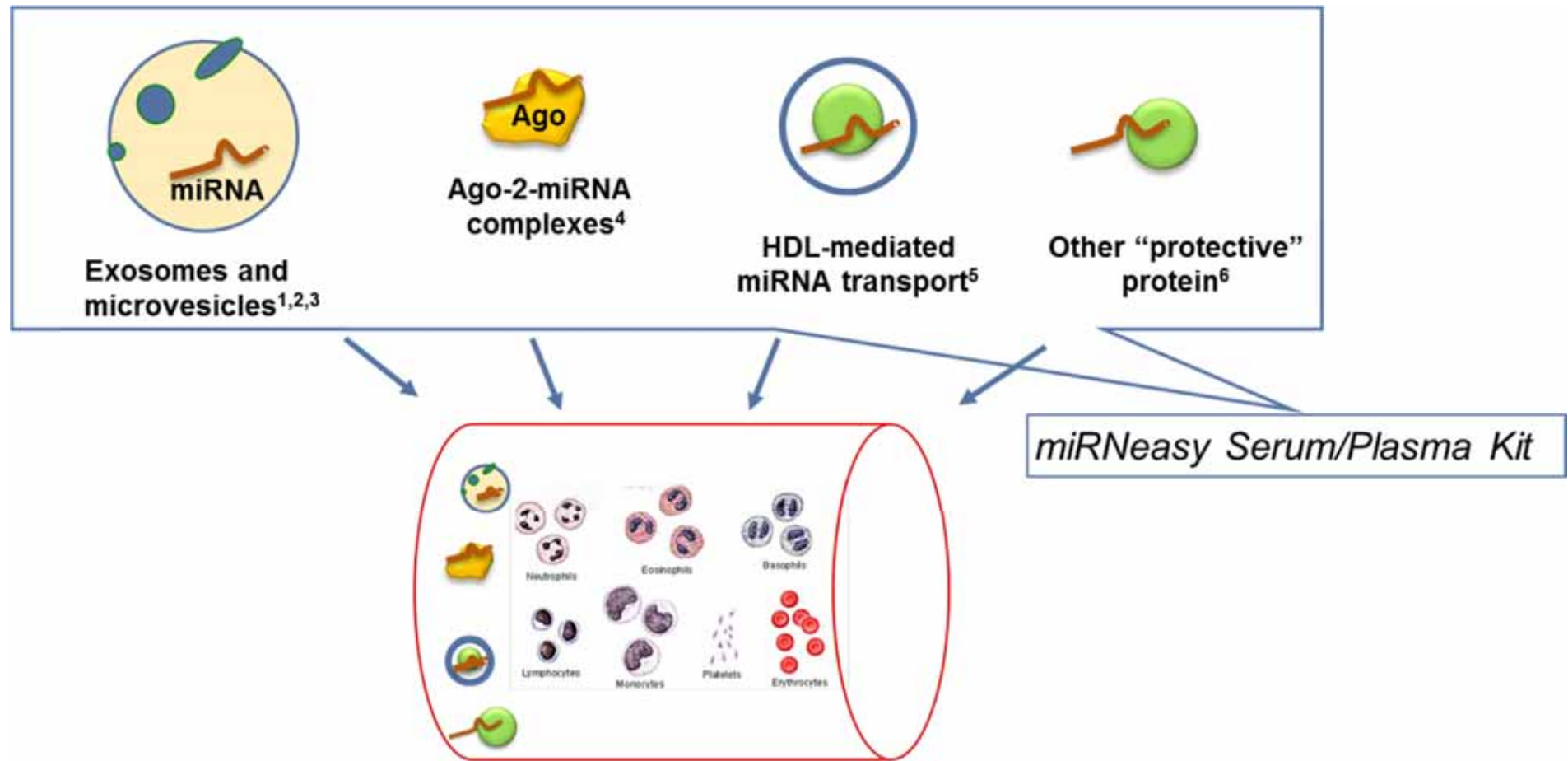


MicroRNA Profiling

Right kidneys were homogenized while still frozen using a Tissuemiser (Fisher, PA). 35 mg of the homogenate was used in subsequent isolation steps. Total RNA (including microRNA) was isolated from **kidneys** using **miRNeasy kit** (Qiagen, CA) according to manufacturer's protocol. Kidney RNA concentration and quality was assessed using the NanoDrop 1000 and the 2100 Bioanalyzer (Agilent, CA).

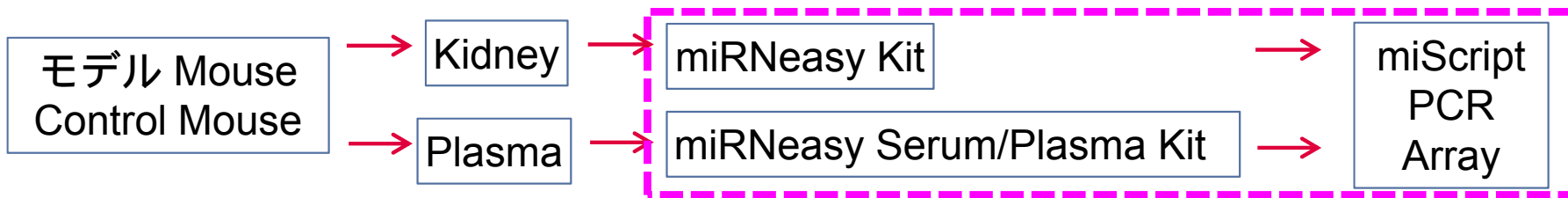
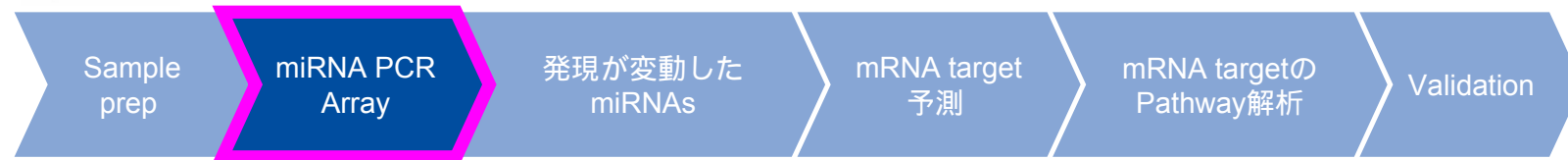
Total RNA (including microRNA) was isolated from EDTA **plasma** (~100 ul) using **miRNeasy Serum/Plasma kit** (Qiagen) according to manufacturer's protocol. **C. elegans miR-39 miRNA** mimic was **spiked** in at the beginning of isolation procedure for normalization purposes.

Plasma からのRNA 精製
センチュウ miR-39 を
外部Control としてspike



miRNA は細胞外で、タンパク質と複合体形成や小胞に内包されており、安定

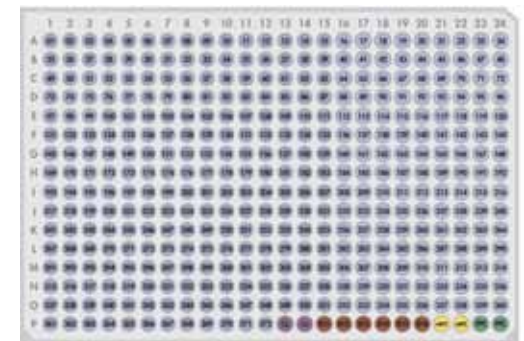
- 1) Valadi, H., et al., (2007) Exosome-mediated transfer of mRNAs and microRNAs is a novel mechanism of genetic exchange between cells, *Nat Cell Biol* **9**:654-659
- 2) Hunter MP et. al., (2008) Detection of microRNA Expression in Human Peripheral Blood Microvesicles, *PLoS ONE* **3**:e3694
- 3) Kosaka, N et. al (2010) Secretory mechanisms and intercellular transfer of microRNAs in living cells, *J Biol Chem* **285**: 17442-17452
- 4) Arroyo, JD et. al., (2011) Argonaute2 complexes carry a population of circulating microRNAs independent of vesicles in human plasma, *Proc. Natl. Acad. Sci* **108**: 5003-5008
- 5) Vickers, KC., et. al., (2011) MicroRNAs are transported in plasma and delivered to recipient cells by high-density lipoproteins. *Nat Cell Biol* **13**:423
- 6) Wang K, Zhang S, Weber J, Baxter D, Galas DJ.(2010) Export of microRNAs and microRNA-protective protein by mammalian cells. *Nucleic Acids Res.* 2010 Nov 1;**38**(20):7248-59.



Equal volumes (plasma) or amount (kidney) of RNA were pooled within each group. Mature microRNA was reverse transcribed using **miScript II RT kit** (Qiagen) according to manufacturer's protocol. RT PCR was performed on the cDNA using **Mouse miRNome miScript miRNA PCR Arrays** (v16.0

assays (Qiagen). Fold changes were calculated as described above. **C. elegans miR-39** and **SNORD61** were used as housekeeping genes for plasma and kidneys respectively.

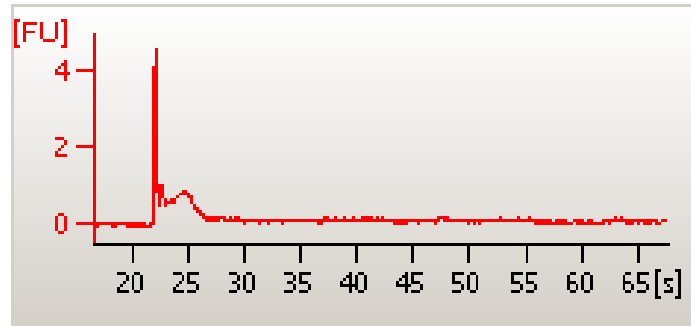
miScript PCR Array
(miRBase v16) miRNAs
に対するPrimer が
スポット済みqPCR Plate



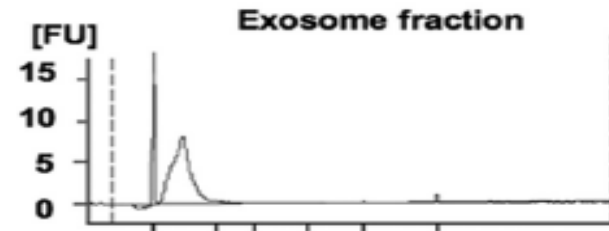
SYBR Green で検出

- ✓ 細胞外RNA は、rRNA を含んでいない

Serum RNA の泳動例 (QIAGENデータ)



培養細胞上清のExosome RNA (文献の泳動例)



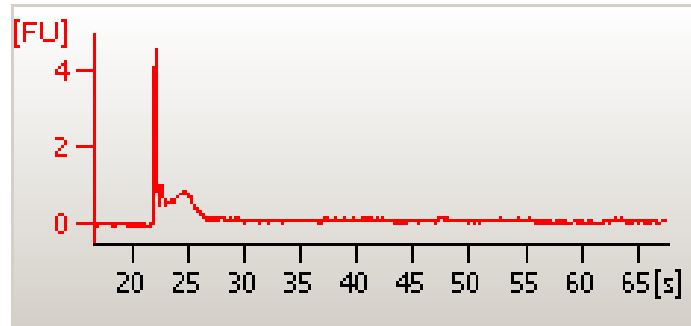
Kosaka et al., **J. Biol. Chem.**, 2010; 285: 17442

- ✓ 細胞外RNA は、NanoDrop などの分光光度計にて定量出来ない*
- ✓ 多くの miRNA microarray や qPCR は、細胞内 RNA(rRNA含む)でprotocolが最適化されている

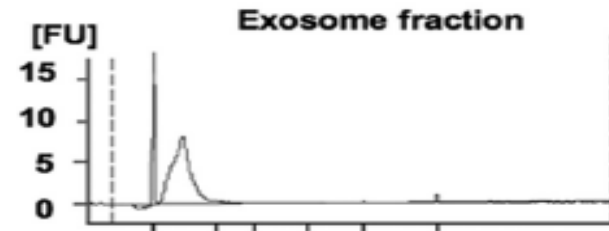
*McDonald JS, Milosevic et.al: Analysis of circulating microRNA: preanalytical and analytical challenges. Clin Chem. 2011 Jun;57(6):833-40.

- ✓ 細胞外RNA は、rRNA を含んでいない

Serum RNA の泳動例 (QIAGENデータ)



培養細胞上清のExosome RNA (文献の泳動例)



Kosaka et al., **J. Biol. Chem.**, 2010; 285: 17442

- ✓ 細胞外RNA は、NanoDrop などの分光光度計にて定量出来ない*
- ✓ 多くの miRNA microarray や qPCR は、細胞内 RNA(rRNA含む)でprotocolが最適化されている

*McDonald JS, Milosevic et.al: Analysis of circulating microRNA: preanalytical and analytical challenges. Clin Chem. 2011 Jun;57(6):833-40.

Table 4. Reverse-transcription reaction components

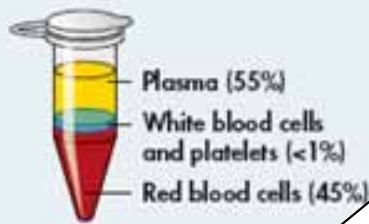
Component	Volume/reaction
5x miScript HiSpec Buffer	4 μ l
10x miScript Nucleics Mix	2 μ l
RNase-free water	Variable
miScript Reverse Transcriptase Mix	2 μ l
Template RNA (added in step 3)	Variable (see Table 3 for recommendations)*
Total volume	20 μl

* If RNA was prepared from 100–200 μ l serum or plasma using the miRNeasy Serum/Plasma Kit, up to 9 μ l RNA prep can be added to the reverse-transcription reaction (sufficient for 6 x 384-well plates or 24 x 96-well plates/Rotor-Discs).

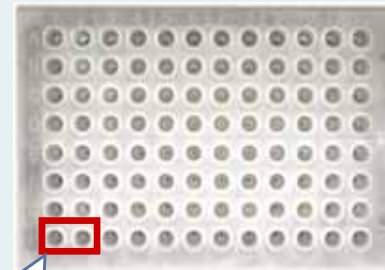
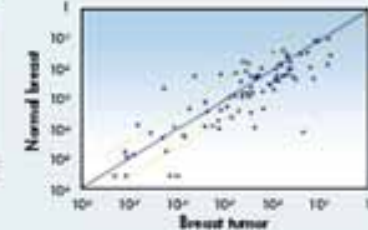
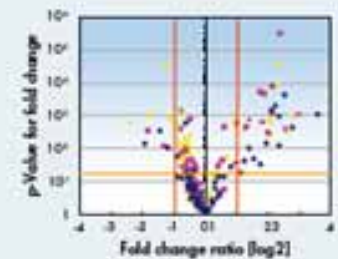
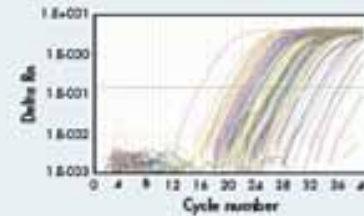
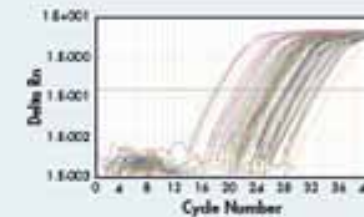
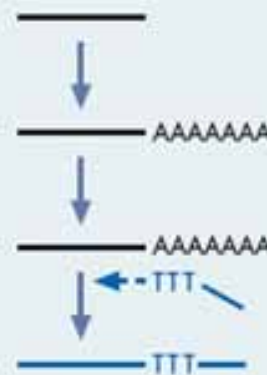
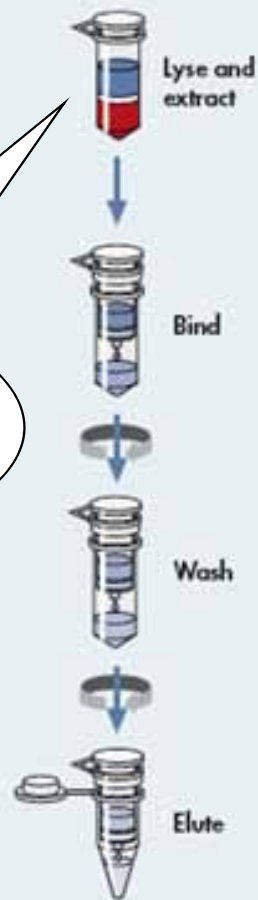
- ▶ miRNeasy Serum/Plasma Kit と miScript PCR Array の組み合わせはSerum / Plasma などの体液で検証されている
- ▶ ユーザーは、検証済みのSample 量とRNA 量を使用することができる

assays (Qiagen). Fold changes were calculated as described above. *C. elegans* miR-39 and SNORD61 were used as housekeeping genes for plasma and kidneys respectively.

miRNeasy + Spike-in control



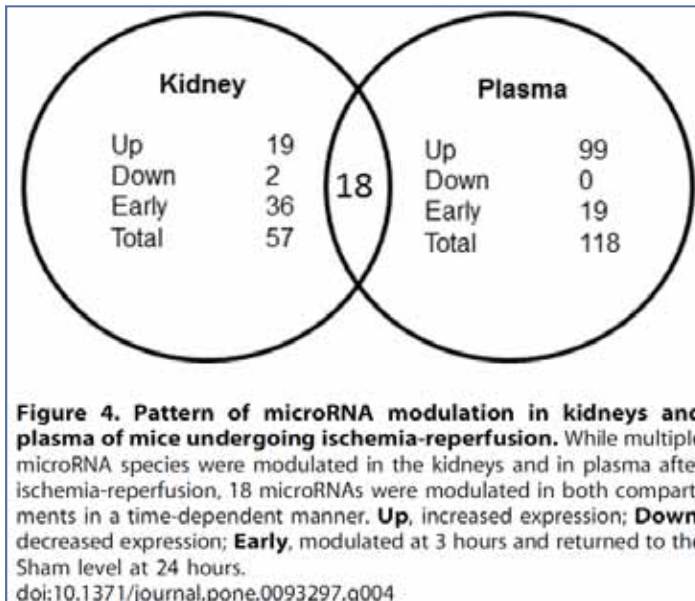
オプション:
センチュウ miR-39
を添加



センチュウ miR-39

センチュウ miR-39 を 外部コントロールとして使用し、RNA精製の回収率を補正できる

▶ 信頼性の高い結果が得られる



the same direction (Figure 4). In order to identify miRNAs likely arising from the kidney that could serve as plasma-borne biomarkers of renal injury, we focused our analysis on miRNAs that were regulated in both kidney and plasma.

モデルマウスのKidney 由来するPlasma 中の マーカーを得るため、両方で同じ発現をするmiRNAs に注目

plasma is also unclear. Elevation of certain microRNAs in plasma may represent a result of renal cell death associated with leakage of cytoplasmic components. Alternatively, microRNAs can be

腎障害による細胞死で、細胞内 miRNA がPlasma に漏れ出た可能性



Table 2. MicroRNAs concordantly modulated in kidneys and plasma (pooled sample results).

miR	Kidney			Plasma		
	3 hr	6 hr	24 hr	3 hr	6 hr	24 hr
mmu-miR-714	3.21	2.72	6.23	1.59	5.52	13.72
mmu-miR-1188	1.55	2.50	4.13	1.69	8.20	9.20
mmu-miR-1897-3p	3.72	5.82	11.12	7.88	4.12	13.12
mmu-miR-877*	1.38	2.28	2.90	1.91	2.21	5.84
mmu-miR-3471	3.77	2.59	1.06	11.04	10.25	10.10
mmu-miR-1224	1.45	1.83	4.77	-1.23	4.23	9.14

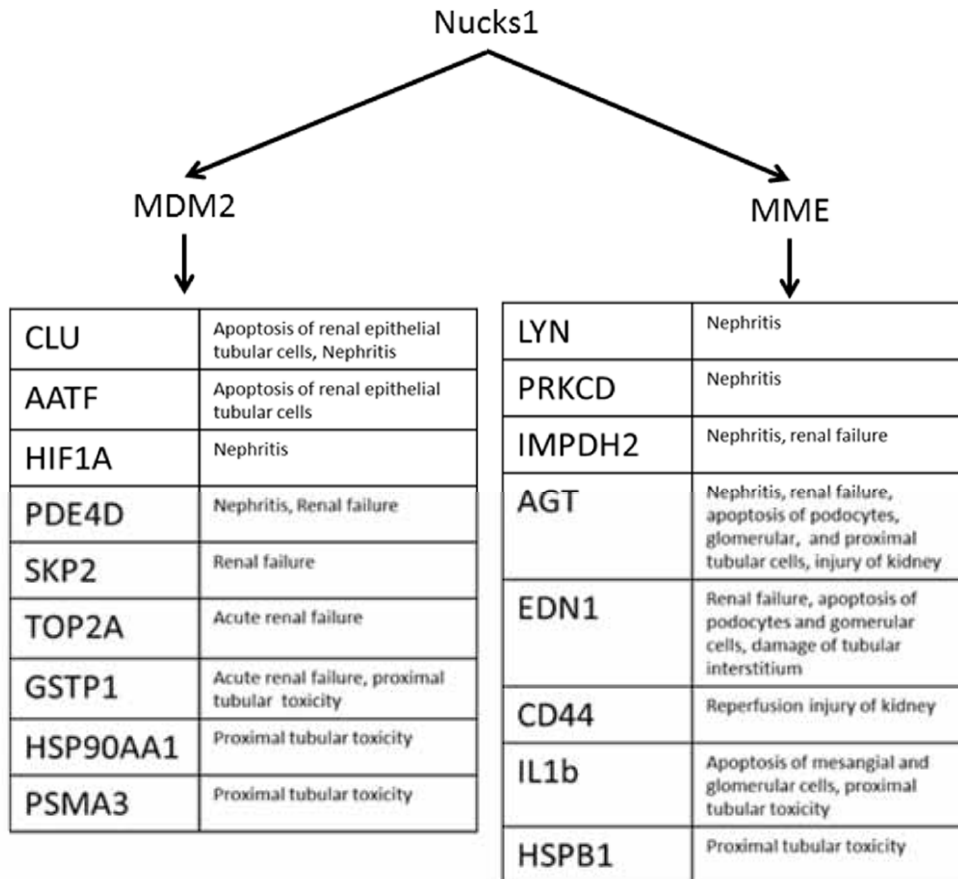
▶ Kidney とPlasma の両方で発現量が上昇している、miR-1897-3p を marker 候補



Because **miR-1897-3p** had the **greatest modulation**, our goal was to identify its mRNA targets and evaluate possible regulation of pathogenic pathways by miR-1897-3p. The top two targets generated by **mirBase** v.19 were **Lass4** and **Nucks1** with Target Scores of 80 and 79 respectively [14–17]. **TargetScan** Mouse 6.2 identified **Nucks1** as the top target (total context score = -0.53) closely followed by **Lass4** (total context score = -0.43) when

miR-1897-3p のmRNA target をmirBaseやTargetScan を用いて予測

▶ miR-1897-3p の mRNA target 候補は、Lass4 と Nucks1



mirSVR score of -0.59 [21–22]. Pathway analysis was performed on Nucks1 (nuclear casein kinase and cyclin-dependent kinase substrate 1) using Ingenuity Pathway Analysis (IPA, Qiagen, Redwood City, CA). Indeed, downstream targets of Nucks1 are involved in renal injury, inflammation, and apoptosis (Figure 6).

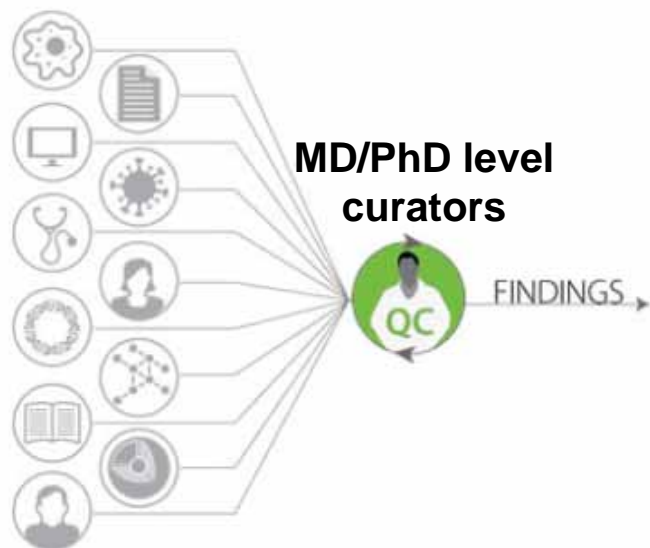
miR-1897-3p の mRNA target 候補の下流の Pathway を Ingenuity Pathway Analysis(IPA)で解析した

Figure 6. Downstream targets of Nucks1. Pathway analysis was performed on Nucks1 (nuclear substrate 1) using Ingenuity Pathway Analysis. Downstream targets of Nucks1 appear to be involved in

▶ Nucks1 の下流遺伝子の一部が、研究対象の疾病や症状と関連していることが分かる

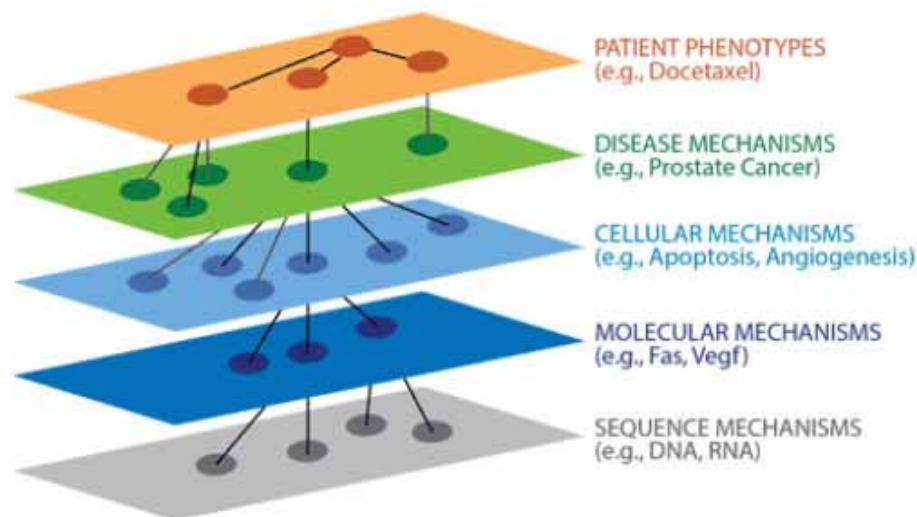
IPA のIngenuity ナレッジベースはタンパク質、遺伝子、複合体、細胞、組織、薬、疾患に関わる数百万にも及ぶ生物学的機能、相互作用に関する情報が15年もの間収集されたデータベースです

Literature findings



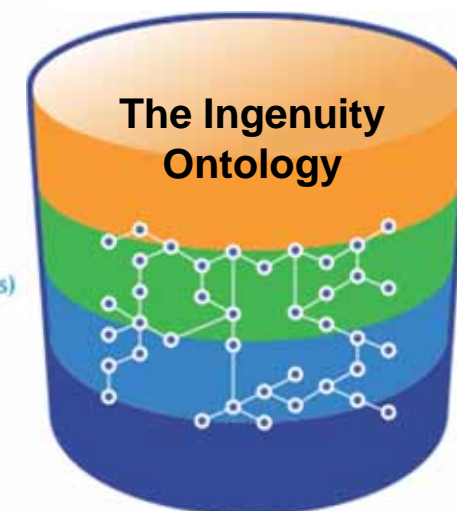
Content Acquisition

Biomedical Ontology



Ingenuity Ontology

The Ingenuity Knowledge Base



Ingenuity ナレッジベースを駆使した様々な活用方法

- ✓ Gene/Chemical、機能、Pathway のdata 検索
- ✓ Pathway の調査、仮説の作成
どの分子が研究対象の分子 / 疾病と作用しているか
- ✓ データ解析

Genes and Chemicals Diseases and Functions Pathways and Tox Lists

NUCKS1

SEARCH

Search


ADD TO MY PATHWAY

ADD TO MY LIST

CREATE DATASET

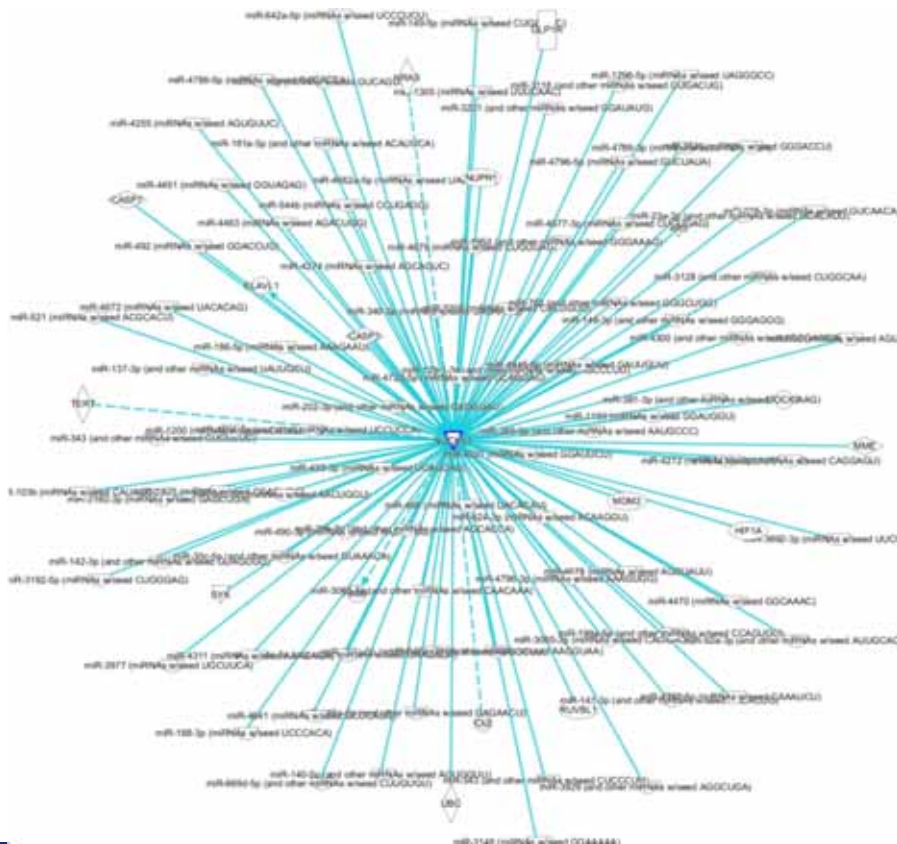
BIOPROFILER

CUSTOMIZE TABLE



The search for NUCKS1 matched 1 items.

<input type="checkbox"/>	Symbol	Matched Term	Synonym(s)	Entrez Gene Name	Location	Type(s)	View/Open	B	
<input type="checkbox"/>	1	NUCKS1	NUCKS1, Nucks1	2700010L10Rik, 8430423A01Rik, A1647518, C78391, HMG LIKE protein P1, 3C7, LOC100130123, LOC100366178, LOC102546716, NUCKS, nuclear casein kinase and cyclin-dependent kinase substrate 1, nuclear ubiquitinous casein and cyclin-dependent kinase su	nuclear casein kinase and cyclin-dependent kinase substrate 1	Nucleus	kinase	<div><div>View</div><div>Interaction</div></div>	



Nucks1 とInteraction の報告がある分子が表示

Nucks1 の上流の遺伝子を除いて、下流の遺伝子と研究対象の疾病との関連を表示

Interaction Network

NUCKS1

Tool: Grow

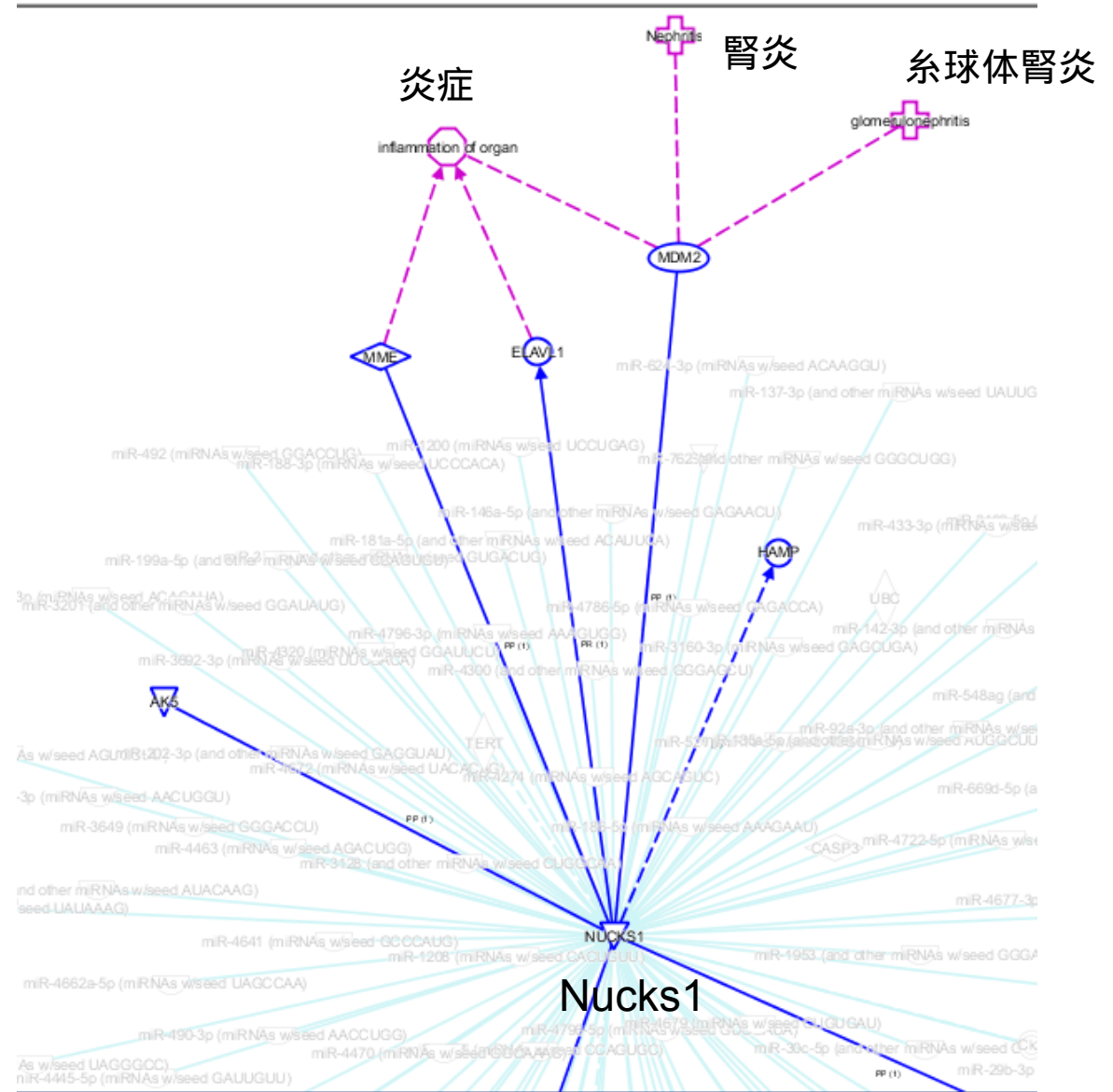
Molecules Diseases & Functions

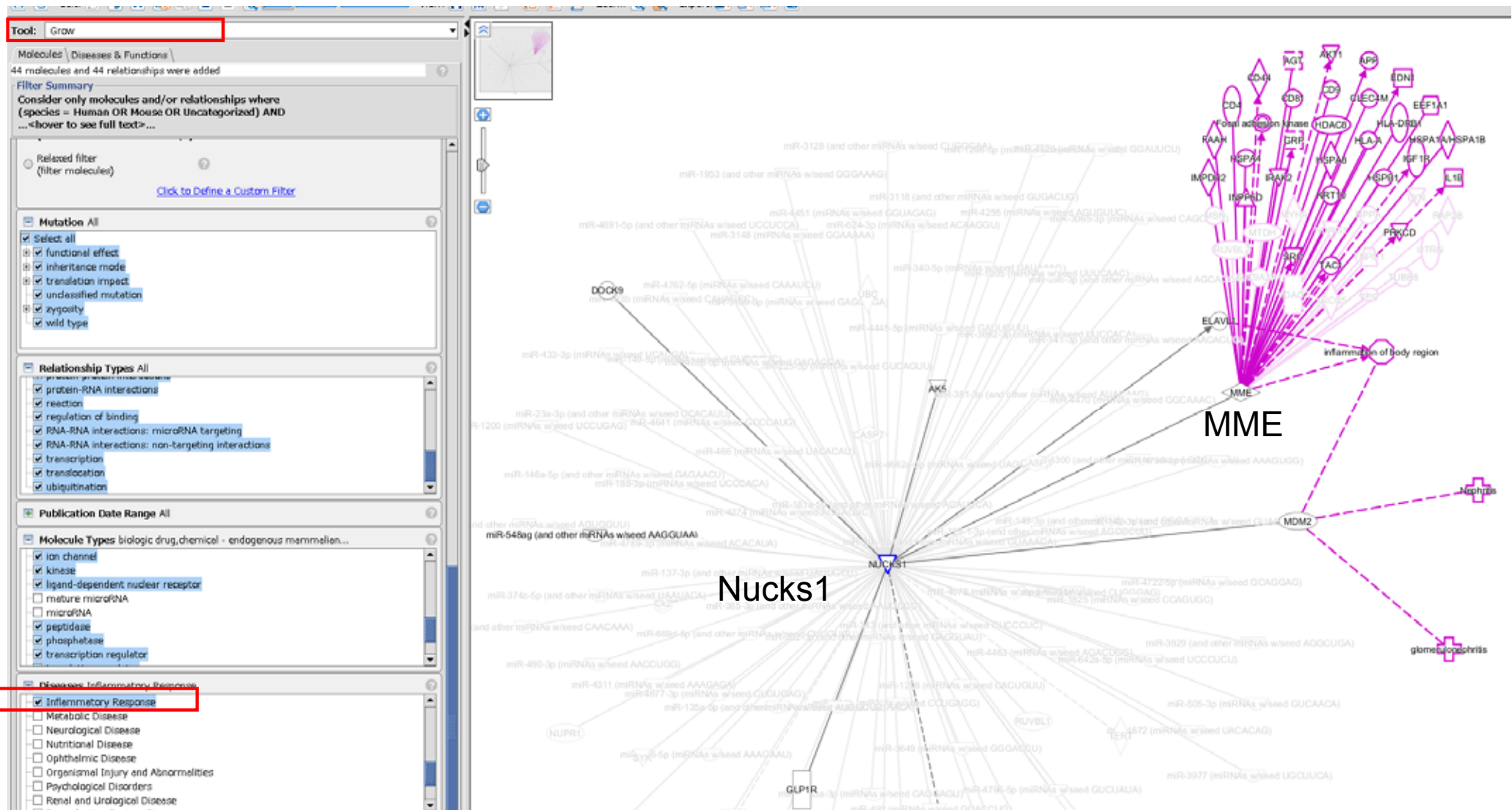
Grow from selected molecules to selected diseases & functions

Indicate diseases or functions related to Any of the selected mole

Consider all functions

Diseases and Functions	p-value	Molecules
early stage cervical squamous cell	4.10E-23	miR-135a...
invasive cervical carcinoma	4.10E-23	miR-135a...
invasive squamous-cell carcinoma	1.13E-22	miR-135a...
cervical squamous cell carcinoma	7.61E-21	miR-135a...
cervical cancer	1.39E-18	miR-135a...
nonobstructive azoospermia	2.00E-17	miR-374c...
azoospermia	4.23E-17	miR-374c...
invasive carcinoma	1.63E-16	miR-135a...
class II lupus nephritis	1.46E-15	miR-642a...
inflammation of body cavity	8.78E-14	miR-135a...
liposarcoma	3.08E-13	miR-146a...
inflammation of body region	3.84E-13	miR-140-...
inflammation of organ	1.55E-12	miR-140-...
glomerulonephritis	2.50E-12	miR-642a...
squamous-cell carcinoma	3.17E-12	miR-135a...
Nephritis	3.44E-12	miR-642a...
angiocentric T-cell lymphoma	5.57E-12	miR-140-5...





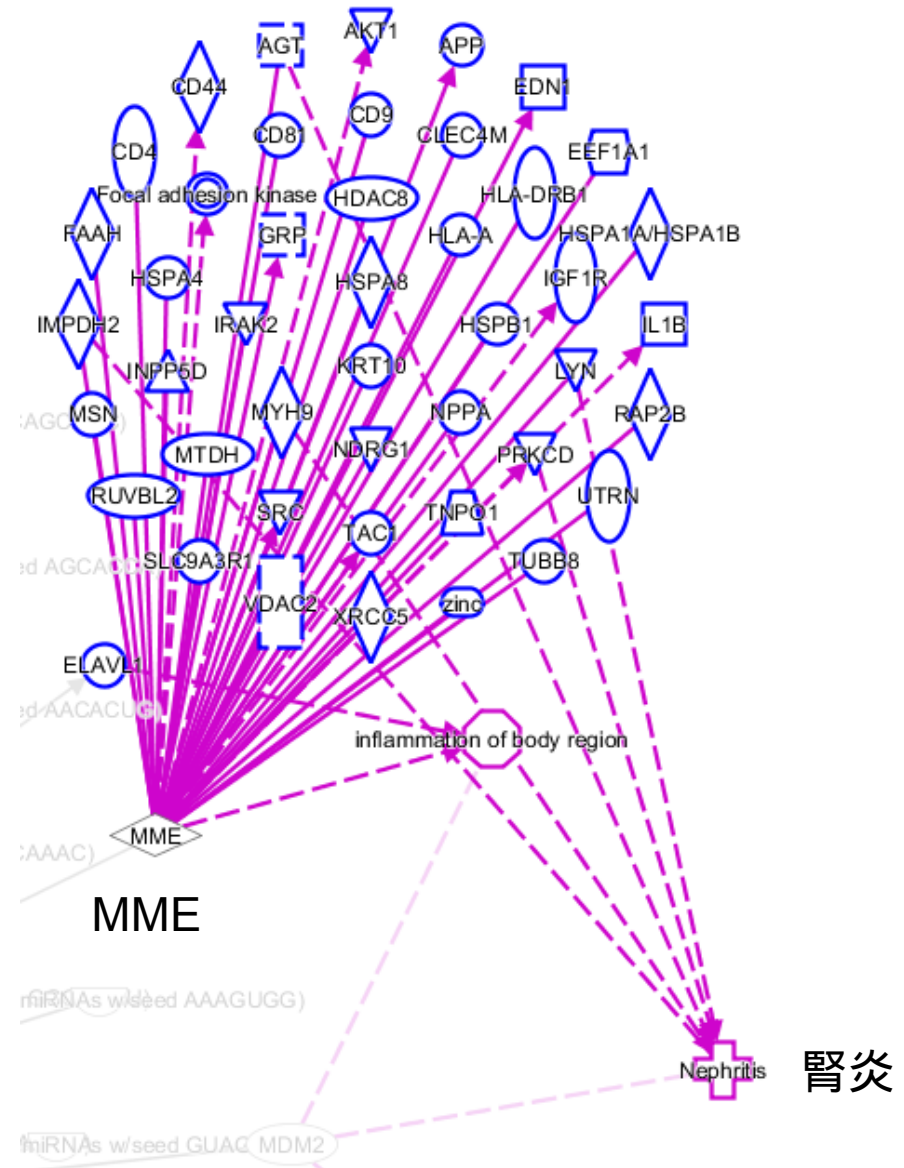
MME は、Nucks1 の下流の遺伝子のうちの1つ

MME の下流の遺伝子で研究対象の疾病や症状と関連する遺伝子のみ interaction を伸ばす

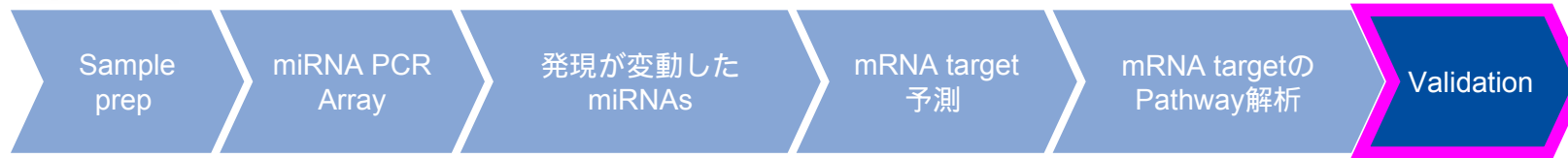
Nucks1

MME

LYN	Nephritis
PRKCD	Nephritis
IMPDH2	Nephritis, renal failure
AGT	Nephritis, renal failure, apoptosis of podocytes, glomerular, and proximal tubular cells, injury of kidney
EDN1	Renal failure, apoptosis of podocytes and glomerular cells, damage of tubular interstitium
CD44	Reperfusion injury of kidney
IL1b	Apoptosis of mesangial and glomerular cells, proximal tubular toxicity
HSPB1	Proximal tubular toxicity



- ▶ MMEの下流の遺伝子と、研究対象の疾病や症状との関連を見つけることができる
- ▶ miR-1897-3p → Nucks1 → 下流遺伝子 → 腎炎を含む疾病の関係が予測された



Nucks1

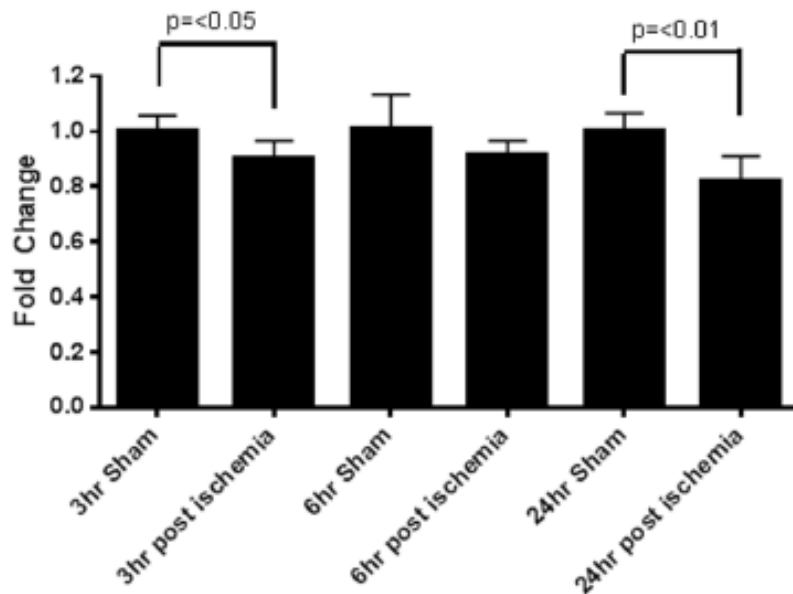


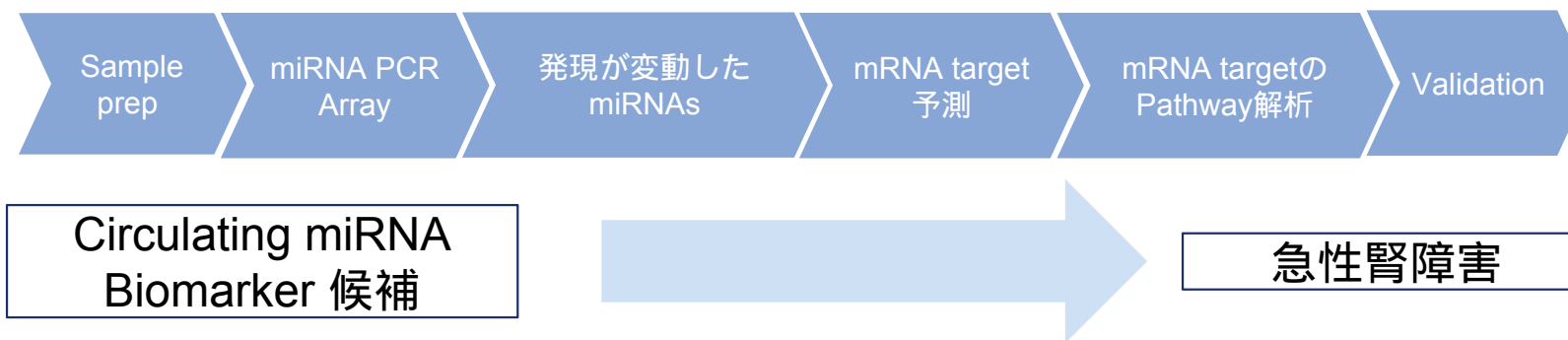
Figure 7. Nucks1 expression in the kidneys of mice with renal ischemia-reperfusion. Nucks1 gene expression was down-regulated

Experimentally, Nucks1 gene expression was down-regulated in the injured kidneys at all timepoints and reached significance at 3 and 24 hours (Figure 7). These findings suggest that miR-1897-3p may, in fact, serve as a marker of renal injury and contribute to progression of renal dysfunction following an ischemic event.

miR-1897-3p の target 候補の Nucks1 は、モデルマウスのKidney 内で 発現量が低下していた

- ▶ miR-1897-3p の発現量の増加により Nucks1 のdown-regulation が生じたと思われる
- ▶ Nucks1 はmiR-1897-3p のTarget と思われ、Nucks1 のdown-regulation により腎損傷に関連する下流遺伝子が影響を受けたと思われる

文献の work flow



幾つかの疑問が残っているのでは？

1. Nucks1 は本当に miR-1897-3p のtarget か？
2. 検証は、Nucks1 がdown-regulation されたのを確認しただけで充分？
Nucks1 の下流の遺伝子の発現も解析すべきでは？

文献の work flow

QIAGEN's
recommendation

Sample
prep

miRNA PCR
Array

発現が変動した
miRNAs

mRNA target
予測

mRNA targetの
Pathway解析

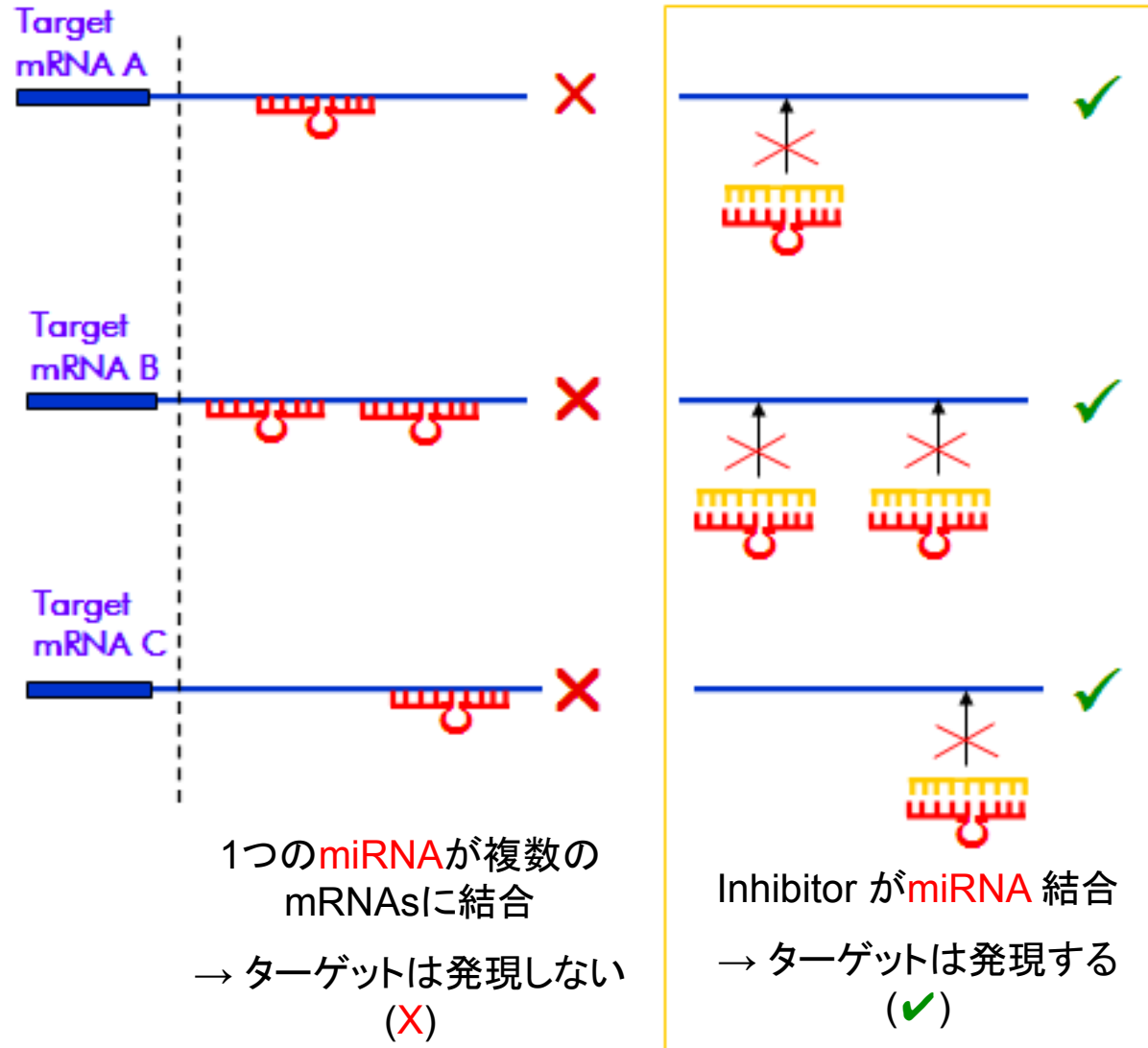
Validation

Circulating miRNA
Biomarker 候補

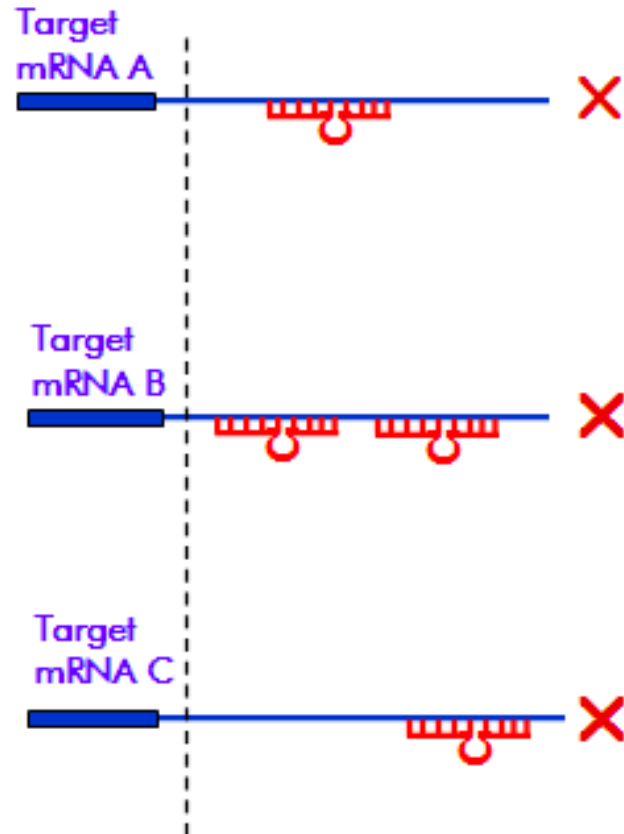
急性腎障害

幾つかの疑問が残っているのでは？

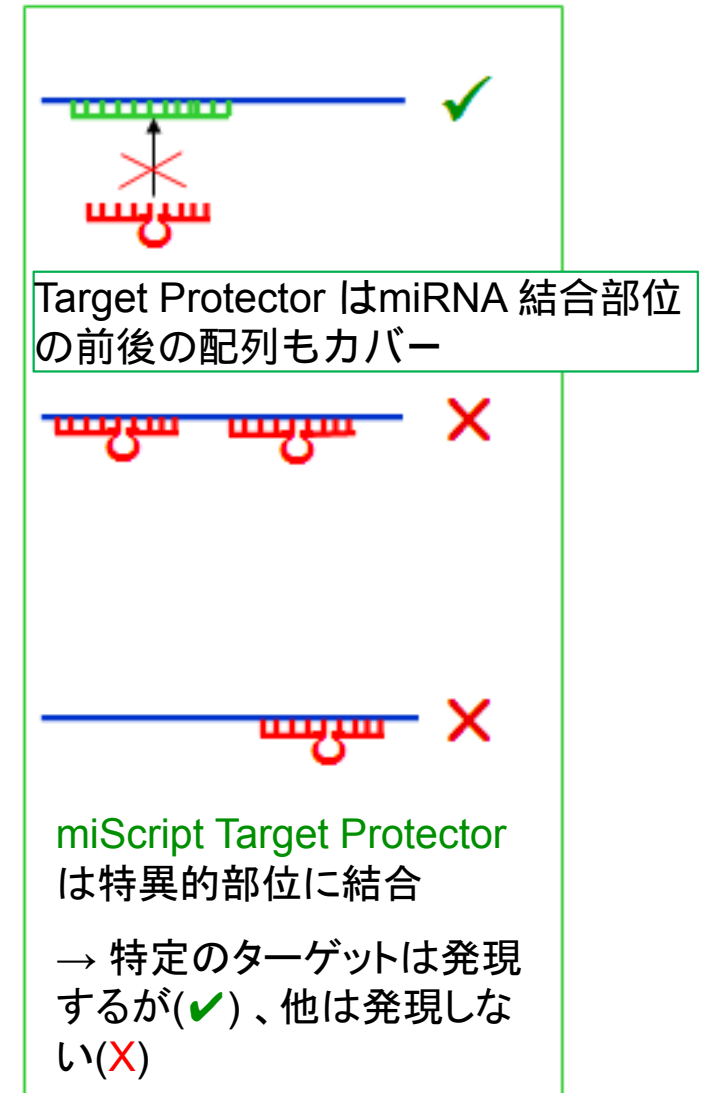
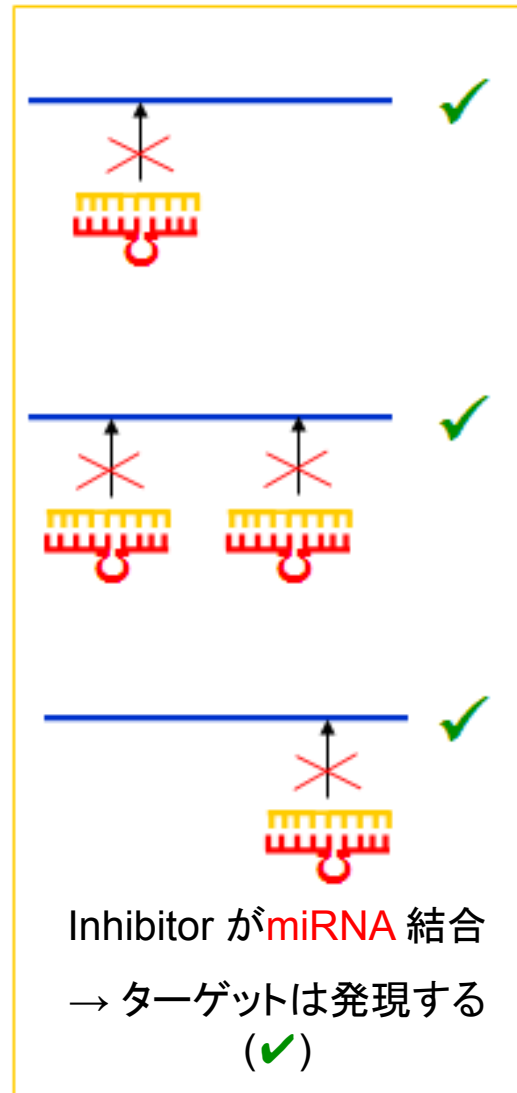
1. Nucks1 は本当に miR-1897-3p のtarget か？
2. 検証は、Nucks1 がdown-regulation されたのを確認しただけで充分？
Nucks1 の下流の遺伝子の発現も解析するべきでは？



1つのmiRNAが複数種類のmRNAsに結合するため、miRNAの過剰発現や阻害は全てのmRNA targetに影響。フェノタイプやタンパク質レベルでの結果が複雑でありウエスタンブロットでは不十分

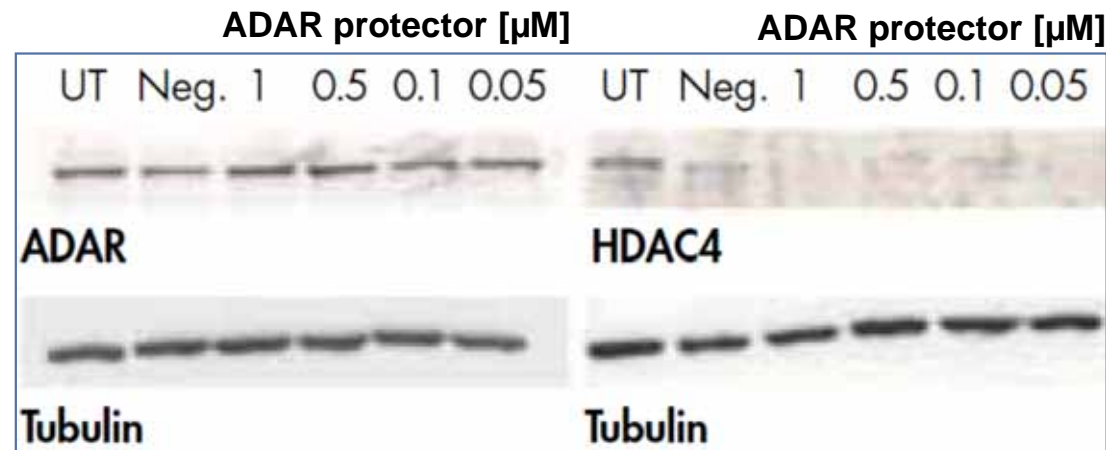
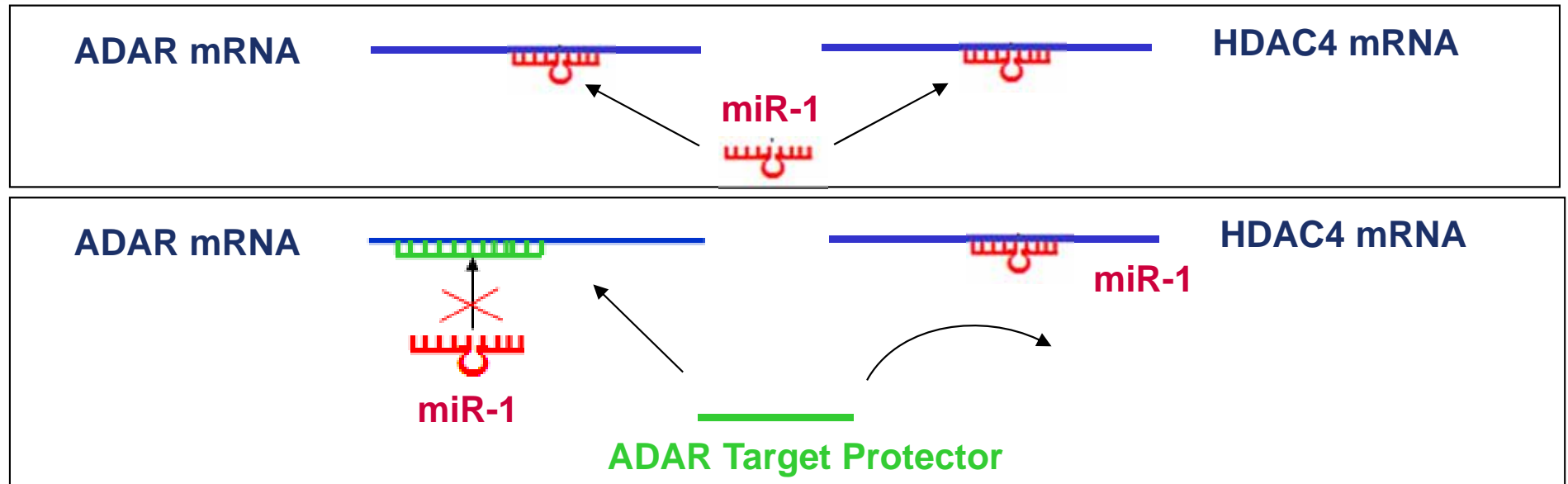


1つのmiRNAが複数のmRNAsに結合
→ ターゲットは発現しない (X)



▶ miScript Target Protector は、miRNA のターゲットを特異的に結合を阻害できる

Target Protector による特異的阻害例



UT (untransfected)

Neg : Negative Control Target Protector

▶ Target Protector は、miRNAのターゲットを ウェスタンブロット にて簡便に確認可能

文献の work flow

QIAGEN's
recommendation

Sample
prep

miRNA PCR
Array

発現が変動した
miRNAs

mRNA target
予測

mRNA targetの
Pathway解析

Validation

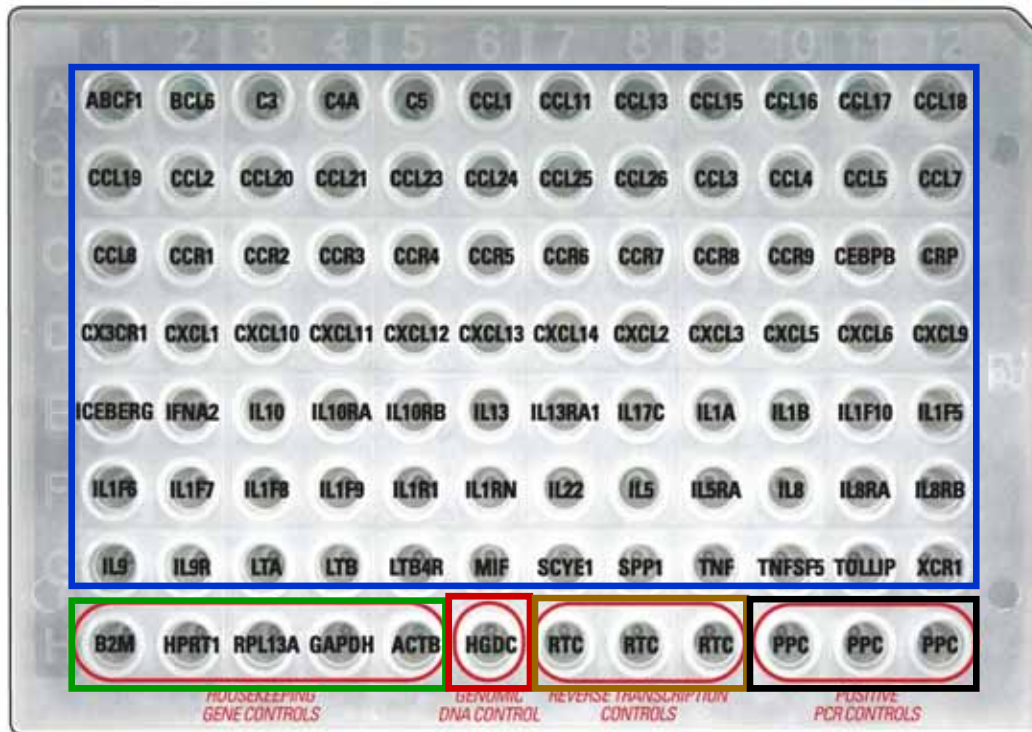
Circulating miRNA
Biomarker 候補

急性腎障害

幾つかの疑問が残っているのでは？

1. Nucks1 は本当に miR-1897-3p のtarget か？
2. 検証は、Nucks1 がdown-regulation されたのを確認しただけで充分？
Nucks1 の下流の遺伝子の発現も解析すべきでは？

mRNA に対するPrimer がスポット済み qPCR Plate

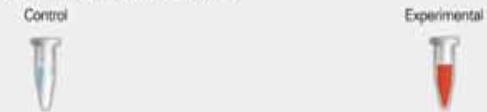


RT² PCR Arrays が搭載している遺伝子は、
pathway にフォーカスしている

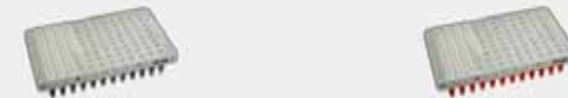
1. Isolate RNA from Cells, Tissues, FFPE and/or Blood.



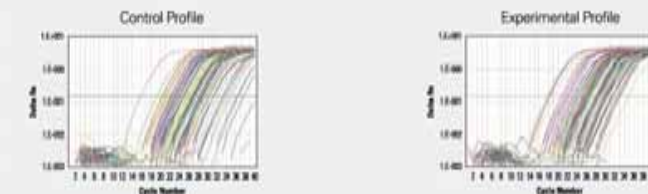
2. Convert Total RNA to cDNA.



3. Add cDNA to RT² SYBR[®] Green Master Mix.
Aliquot Mixture Across PCR Array.



4. Run in Your Real-Time PCR Instrument.



5. Data Analysis.



<https://www.qiagen.com/jp/products/catalog/assay-technologies/real-time-pcr-and-rt-pcr-reagents/rt2-profiler-pcr-arrays/>

Cancer and Apoptosis	Cytokines & Inflammation	Development & Stem Cells
Apoptosis	Inflammatory Cytokines	Stem Cells
Cell Cycle	Th17 for Inflammation	WNT Signaling / Notch Signaling
Human miRNA Array (NEW!)	Common Cytokines / Chemokines	Terminal Differentiation Markers
Breast Cancer & Estrogen Receptor	Inflammasomes	TGFβ / BMP Signaling
Tumor Metastasis	NF-kB Signaling Pathway	Endothelial Cell Biology
Epithelial-to-Mesenchymal Transition	Th1-Th2-Th3	Osteogenesis
Angiogenesis	TNF Ligands	Growth Factors
Cancer Drug Resistance	Toll-like Receptors	ECM & Adhesion
Signal Transduction	Toxicology & Drug Metabolism	Neuroscience
Signal Transduction PathwayFinder	Drug Metabolism	Neuroscience Ion Channels
NFκB Signaling	Drug Phase I Enzymes	Neurotransmitter Receptors
Jak / Stat Signaling	Drug Transporters	Neurotrophins & Receptors
DNA Damage Signaling	Oxidative Stress	Neurogenesis and Neural Stem Cell
Insulin Signaling	Stress & Toxicity	
MAP Kinase Signaling	Other Diseases	Custom PCR Arrays (H/M/R/Q/D/F)
cAMP / Calcium Signaling	Atherosclerosis	96-Well, 384-Well Plate
p53 Signaling	Diabetes	100-Well Disc, 96x96 Chip

▶ 研究にマッチした PCR Array を選択

どのArray が研究にマッチしているか？

約200 種類のRT² Profiler PCR Arrays

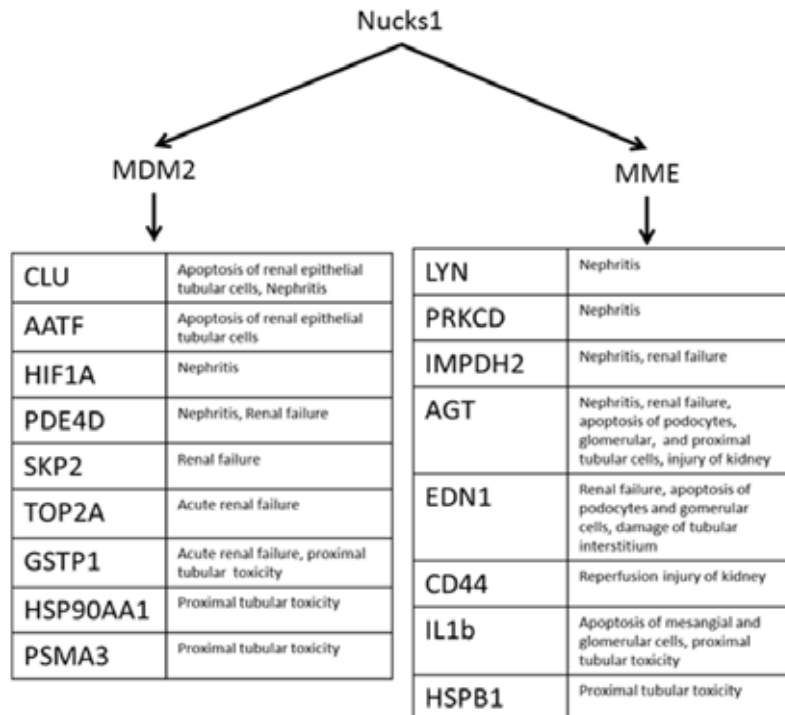


Figure 6. Downstream targets of Nucks1. Pathway analysis was performed on Nucks1 (nuclear substrate 1) using **Ingenuity Pathway Analysis**. Downstream targets of Nucks1 appear to be involved in

Cancer and Apoptosis	Cytokines & Inflammation	Development & Stem Cells
Apoptosis	Inflammatory Cytokines	Stem Cells
Cell Cycle	Th17 for Inflammation	WNT Signaling / Notch Signaling
Human miRNA Array (NEW!)	Common Cytokines / Chemokines	Terminal Differentiation Markers
Breast Cancer & Estrogen Receptor	Inflammasomes	TGFβ / BMP Signaling
Tumor Metastasis	NF-κB Signaling Pathway	Endothelial Cell Biology
Epithelial-to-Mesenchymal Transition	Th1-Th2-Th3	Osteogenesis
Angiogenesis	TNF Ligands	Growth Factors
Cancer Drug Resistance	Toll-like Receptors	ECM & Adhesion
Signal Transduction	Toxicology & Drug Metabolism	Neuroscience
Signal Transduction PathwayFinder	Drug Metabolism	Neuroscience Ion Channels
NFκB Signaling	Drug Phase I Enzymes	Neurotransmitter Receptors
Jak / Stat Signaling	Drug Transporters	Neurotrophins & Receptors
DNA Damage Signaling	Oxidative Stress	Neurogenesis and Neural Stem Cell
Insulin Signaling	Stress & Toxicity	
MAP Kinase Signaling	Other Diseases	Custom PCR Arrays (H/M/R/Q/D/F)
cAMP / Calcium Signaling	Atherosclerosis	96-Well, 384-Well Plate
p53 Signaling	Diabetes	100-Well Disc, 96x96 Chip

▶ どのArray がマッチするかを確認するのは煩雑



QIAGEN

製品 アプリケーション 技術情報

- ▶ 分子診断
 - ▶ 個別化医療
 - ▶ プロファイリング
 - ▶ 病気の予防
- ▶ Next-Gen Sequencing
 - ▶ Sample Technologies
 - ▶ Target Enrichment
 - ▶ Library Construction
 - ▶ Data Analysis
 - ▶ Data Interpretation
- ▶ 動物関連試験
 - ▶ 反芻動物用試験
 - ▶ ブタ用試験
 - ▶ 家禽用試験
 - ▶ ウマ用試験
 - ▶ 自動化ソリューション
- ▶ 遺伝子 & パスウェイ
 - ▶ Custom Builder
 - ▶ 研究分野ポータル
 - ▶ テクノロジーポータル
 - ▶ Biology Stores
 - ▶ Browse by Species
 - ▶ **Array Finder**
 - ▶ GeneGlobe Lists
 - ▶ Pathway Central
 - ▶ Data Analysis Center
 - ▶ Knowledge Hub



GeneGlobe Array Finder 印刷 Bookmark シェア

The GeneGlobe Array Finder is a simple online tool that finds all of the PCR Arrays, Multi-Analyte ELISAs or Gene Panels that best match a user-supplied list of targets. Try it now in three easy steps!

1. Type in a list genes, miRNAs, bacteria or mutations
2. Select a species
3. Select the type of product you would like to match your target list against.

Enter or upload your search list: ?

Enter search terms

▶ Help and search term examples

Choose species ▼ Search

研究対象の遺伝子を入力

Enter or upload your search list:

mdm2, clu, aatf, hif1a, pde4d, skp2, top2a, gstp1, hsp90aa1, psma3, mme, lyn, prkcd, impdh2, agt, edn1, cd44, il1b, hspb1

Help and search term examples

Choose species

- Human (Homo sapiens)
- Mouse (Mus musculus)
- Rat (Rattus norvegicus)
- All species
- Frog (clawed frog) (Xenopus laevis)
- Arabidopsis (Arabidopsis thaliana)
- Cow (Bos taurus)

Search

Choose array product type

- RT2 Profiler PCR Arrays for mRNA expression
- miScript miRNA PCR Arrays for miRNA expression
- qBiomarker Somatic Mutation PCR Arrays for cancer mutation detection
- qBiomarker Copy Number PCR Arrays for CNV/CNA analysis
- EpiTect Methyl qPCR Arrays for DNA methylation
- EpiTect ChIP qPCR Arrays for chromatin immunoprecipitation studies

Arrays containing genes of interest

Hit したArray が表示

RT² Profiler™ PCR Array Human Cancer Drug Targets (Cat. No. PAHS-507Z)

6 out of 19 genes

show matches

Show Details

configure

RT² Profiler™ PCR Array Human Osmotic Stress (Cat. No. PAHS-151Z)

5 out of 19 genes

show matches

Show Details

configure

RT² Profiler™ PCR Array Human Molecular Toxicology PathwayFinder 384HT (Cat. No. PAHS-3401Z)

5 out of 19 genes

show matches

Show Details

configure

RT² Profiler™ PCR Array Human Endothelial Cell Biology (Cat. No. PAHS-015Z)

4 out of 19 genes

show matches

Show Details

configure

RT² Profiler™ PCR Array Human Cancer Drug Targets (Cat. No. PAHS-507Z)

6 out of 19 genes

hide matches

genes match:

MDM2 [Human]
HIF1A [Human]
TOP2A [Human]
GSTP1 [Human]
HSP90AA1 [Human]
PRKCD [Human]

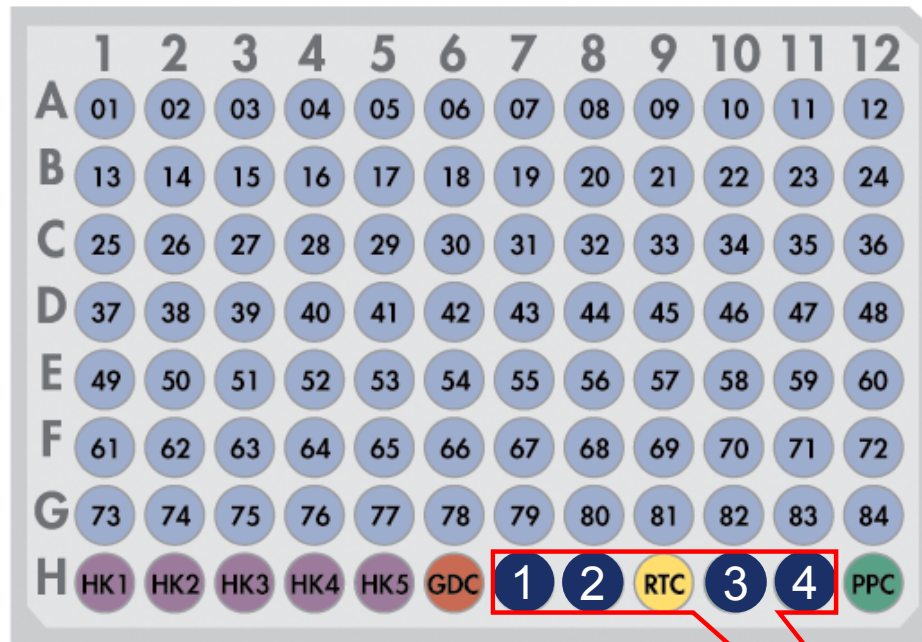
genes mismatch:

CLU [Human]
AATF [Human]
PDE4D [Human]
SKP2 [Human]
PSMA3 [Human]
MME [Human]
LYN [Human]
IMPDH2 [Human]
AGT [Human]
EDN1 [Human]
CD44 [Human]
IL1B [Human]
HSPB1 [Human]

マッチした
遺伝子

マッチしな
かった遺伝子

既存Array をModify



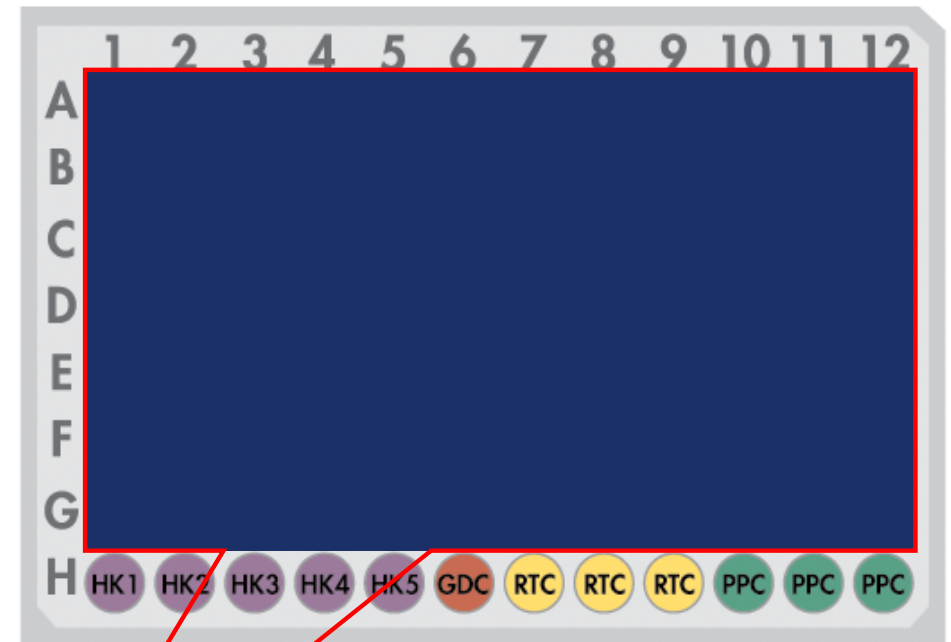
Housekeeping
genes

Genomic
DNA
control

Reverse
transcription
controls

Positive
PCR controls

Custom Array



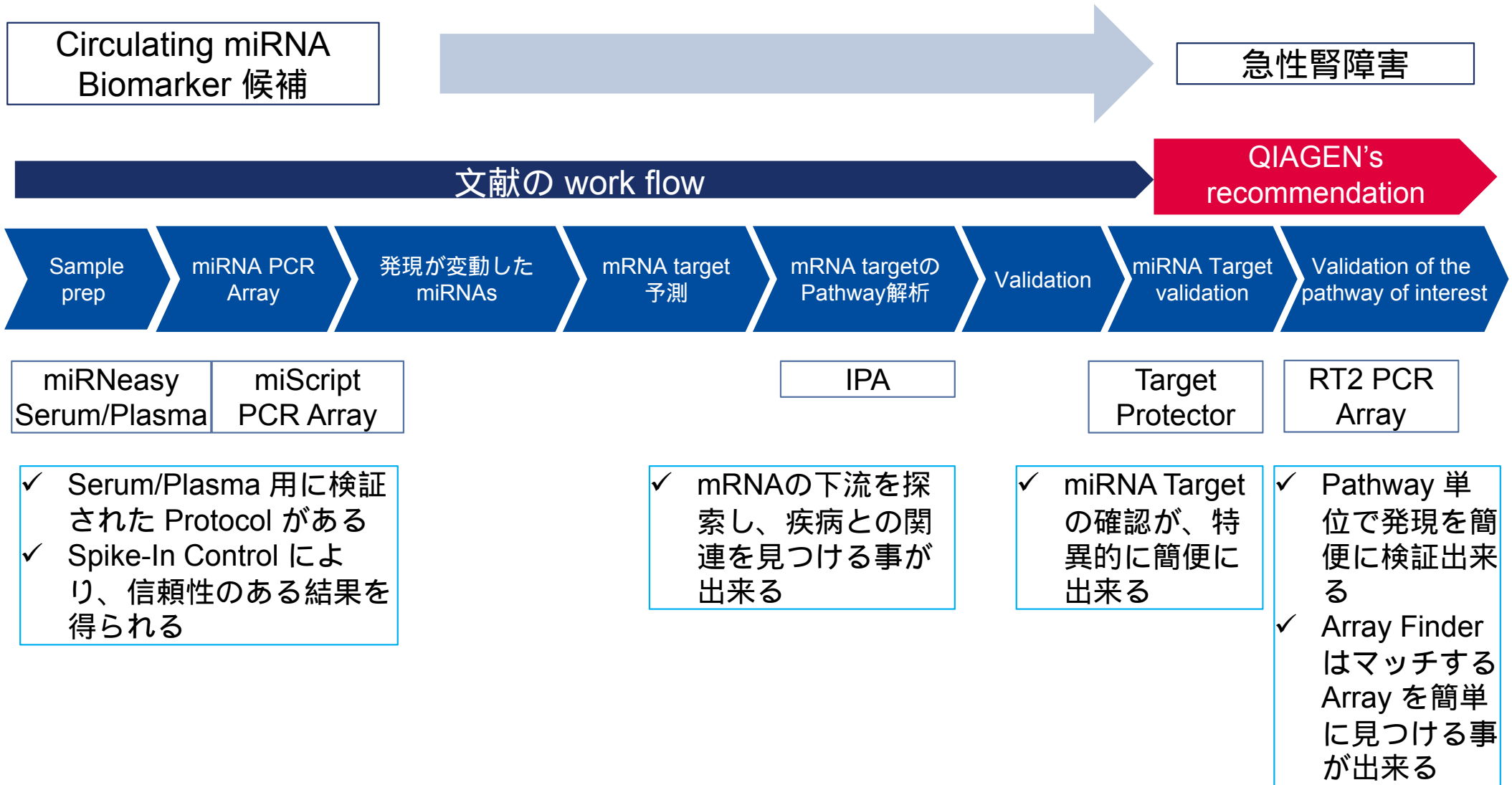
Housekeeping
genes

Genomic
DNA
control

Reverse
transcription
controls

Positive
PCR controls

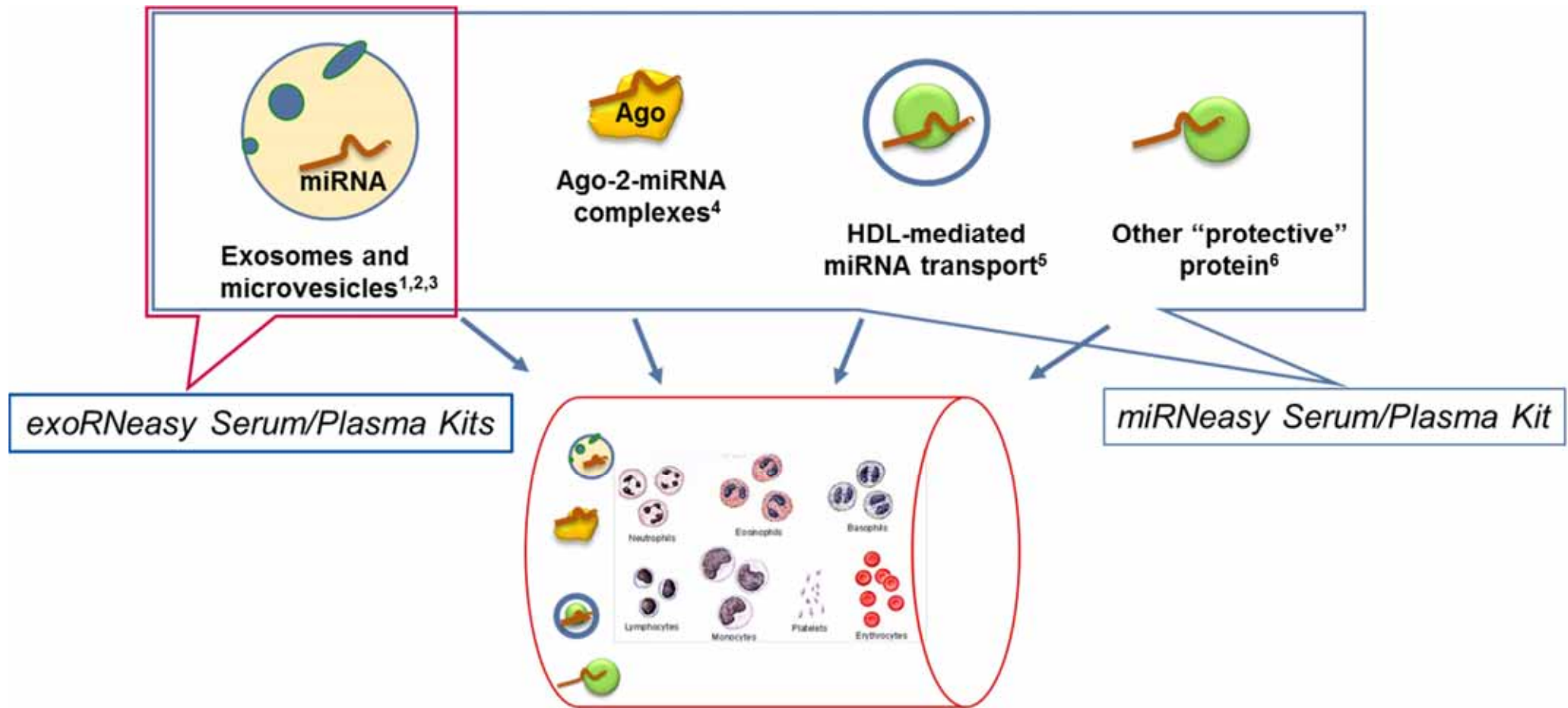
任意の遺伝子を選択出来る



紹介した文献事例

Total のCirculating miRNAを解析

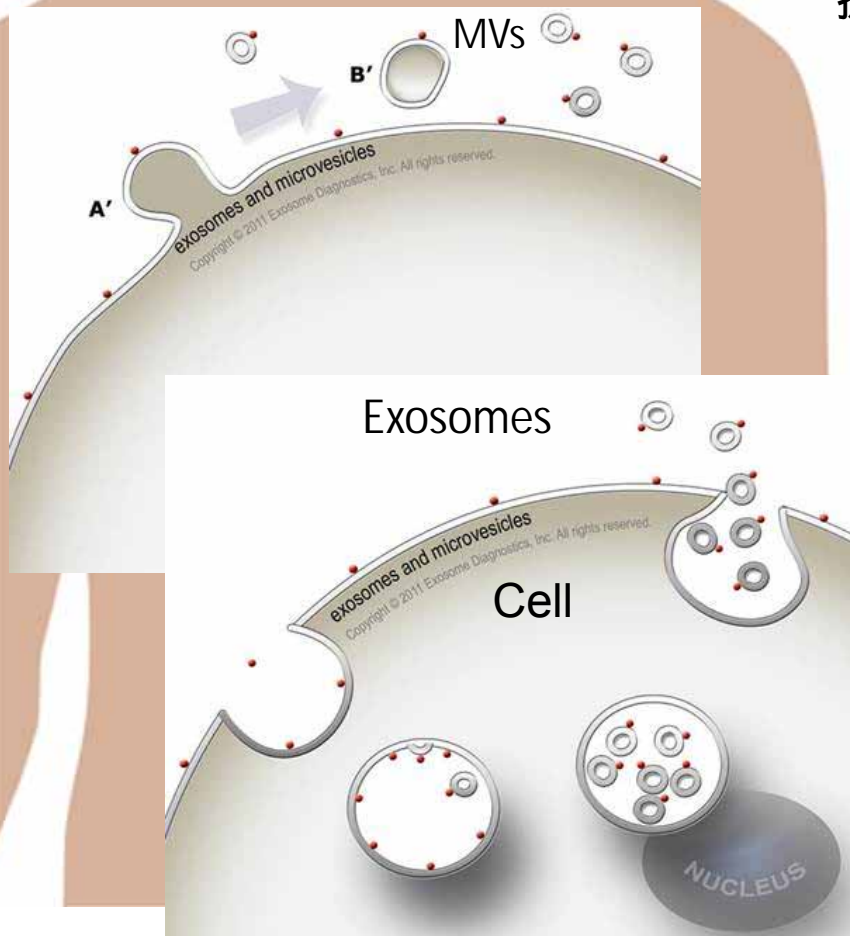
Exosome や細胞外小胞に絞った解析は？



miRNA は細胞外で、タンパク質と複合体形成や小胞に内包されており、安定

- 1) Valadi, H., et al., (2007) Exosome-mediated transfer of mRNAs and microRNAs is a novel mechanism of genetic exchange between cells, *Nat Cell Biol* **9**:654-659
- 2) Hunter MP et. al., (2008) Detection of microRNA Expression in Human Peripheral Blood Microvesicles, *PLoS ONE* **3**:e3694
- 3) Kosaka, N et. al (2010) Secretory mechanisms and intercellular transfer of microRNAs in living cells, *J Biol Chem* **285**: 17442-17452
- 4) Arroyo, JD et. al., (2011) Argonaute2 complexes carry a population of circulating microRNAs independent of vesicles in human plasma, *Proc. Natl. Acad. Sci* **108**: 5003-5008
- 5) Vickers, KC., et. al., (2011) MicroRNAs are transported in plasma and delivered to recipient cells by high-density lipoproteins. *Nat Cell Biol* **13**:423
- 6) Wang K, Zhang S, Weber J, Baxter D, Galas DJ.(2010) Export of microRNAs and microRNA-protective protein by mammalian cells. *Nucleic Acids Res.* 2010 Nov 1;**38**(20):7248-59.

国際細胞外小胞学会（ISEV: International Society for Extracellular Vesicles）では、これら細胞外分泌顆粒の総称として、Extracellular Vesicles（EVs）と呼ぶことを提唱している



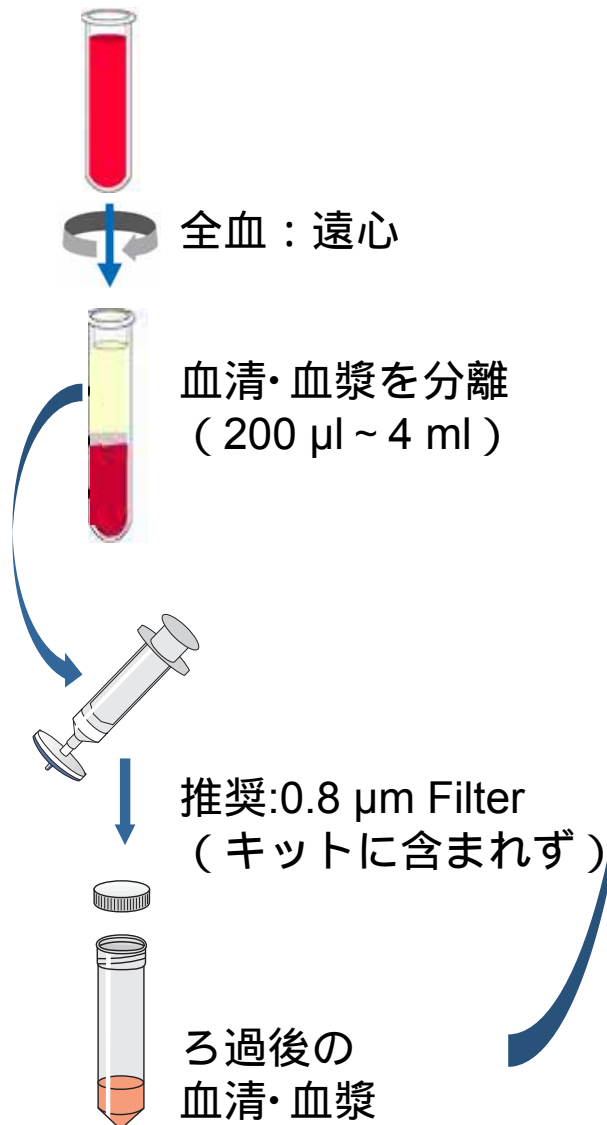
Exosomes、Microvesicles、etc.

=> 細胞外小胞

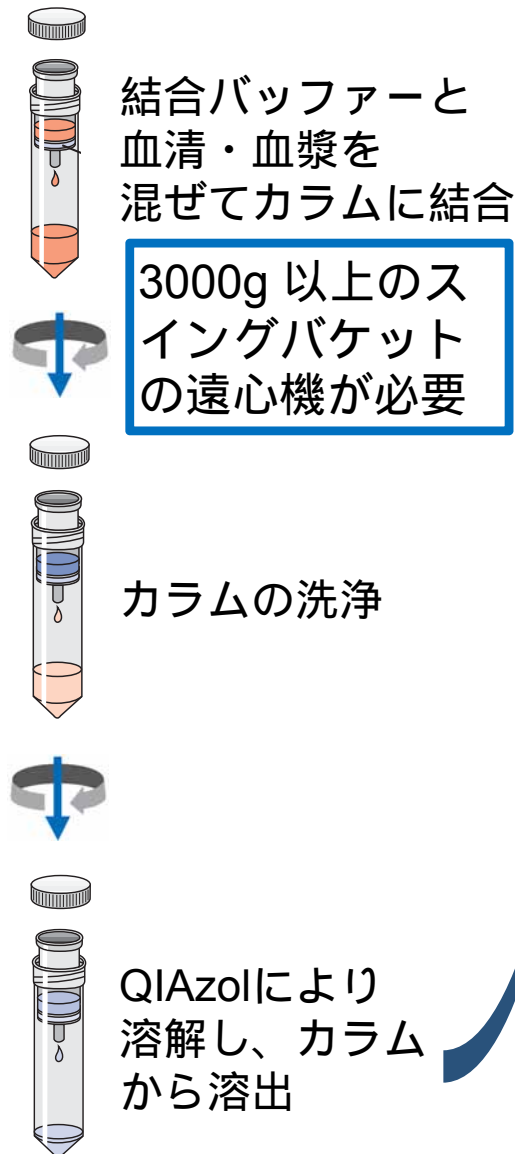
Extracellular Vesicles (EVs)

所要時間1時間以内

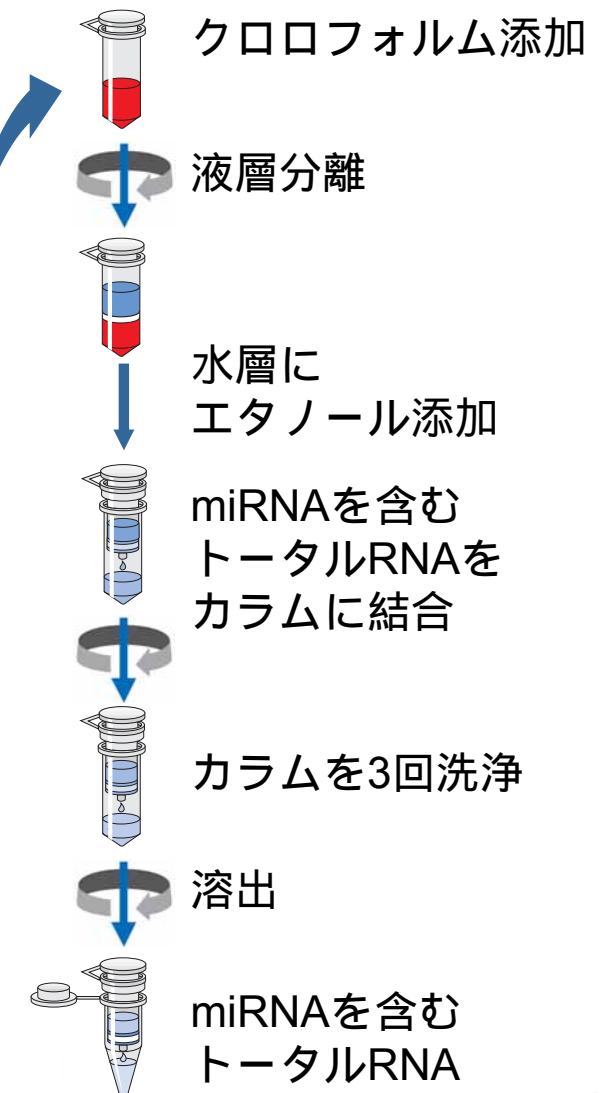
！キットはここから



Maxi サイズカラム



Mini サイズカラム



細胞外小胞 (Extracellular Vesicles: EVs) 特異的RNA 精製キット exoRNeasy Serum/Plasma Kits

所要時間1時間以内

キットはここから

Maxi サイズカラム

Mini サイズカラム

全血：遠心

血清・血漿を分離
(200 μ l ~ 4 ml)

推奨:0.8 μ m Filter
(キットに含まれず)

ろ過後の
血清・血漿

結合バッファーと
血清・血漿を
混ぜてカラムに結合

抗体や
サイズ分画
ではない

カラムの洗浄

QIAzolにより
溶解し、カラム
から溶出

クロロフォルム添加

液層分離

水層に
エタノール添加

miRNAを含む
トータルRNAを
結合

カラムを3回洗浄

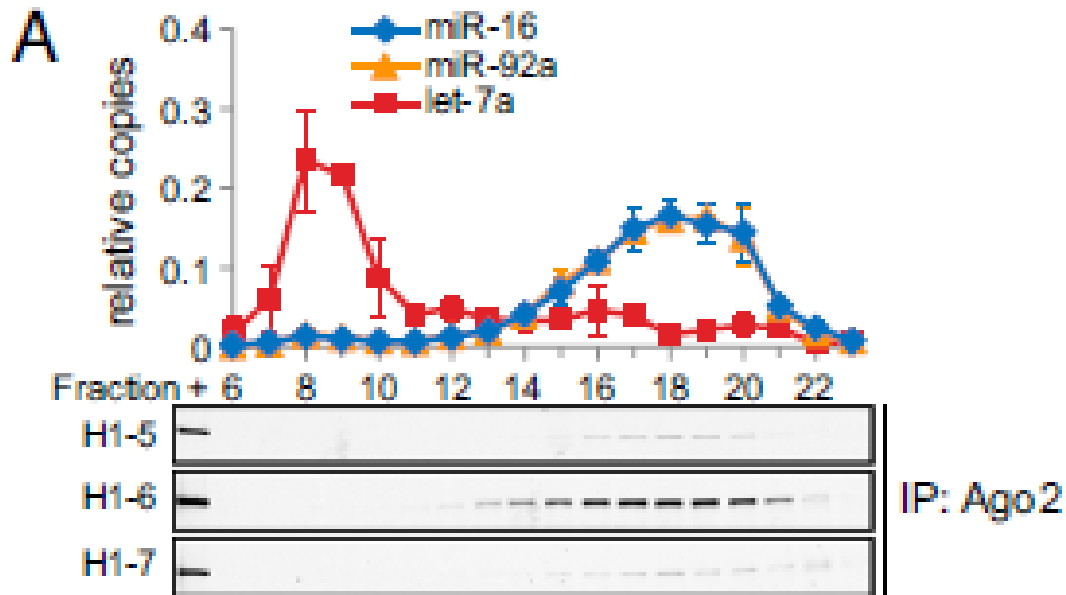
溶出

miRNAを含む
トータルRNA

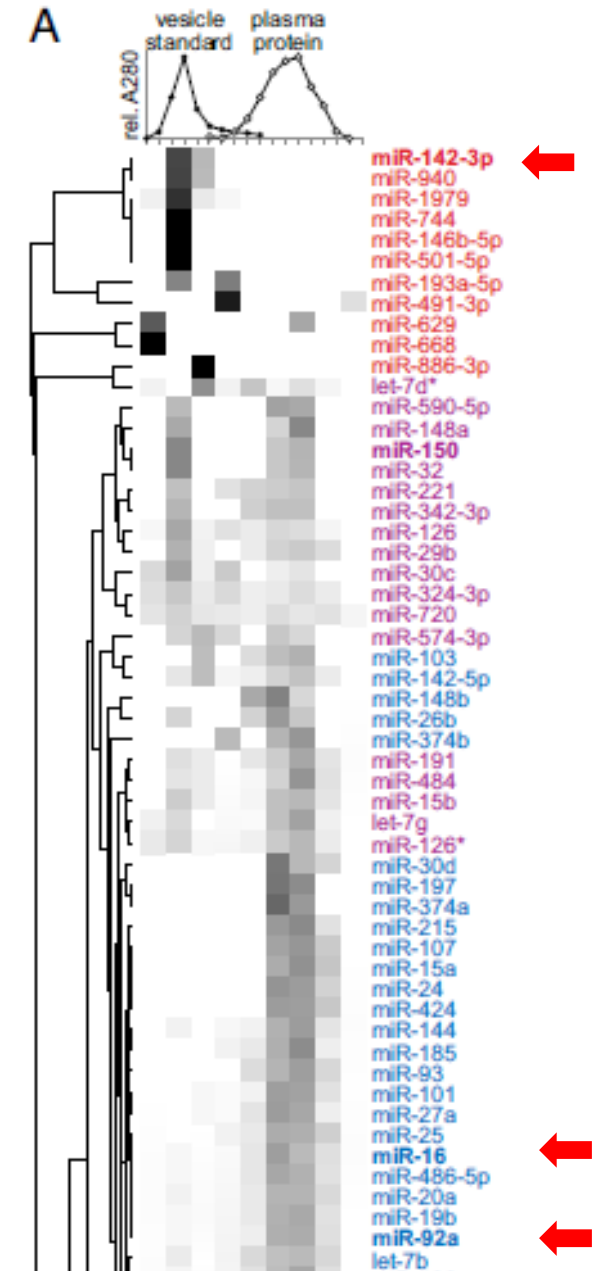
exoRNeasy : QIAzol (フェノール) にて溶出、RNA精製
exoRNeasy の評価に、EVs 特異的miRNAマーカーが必要

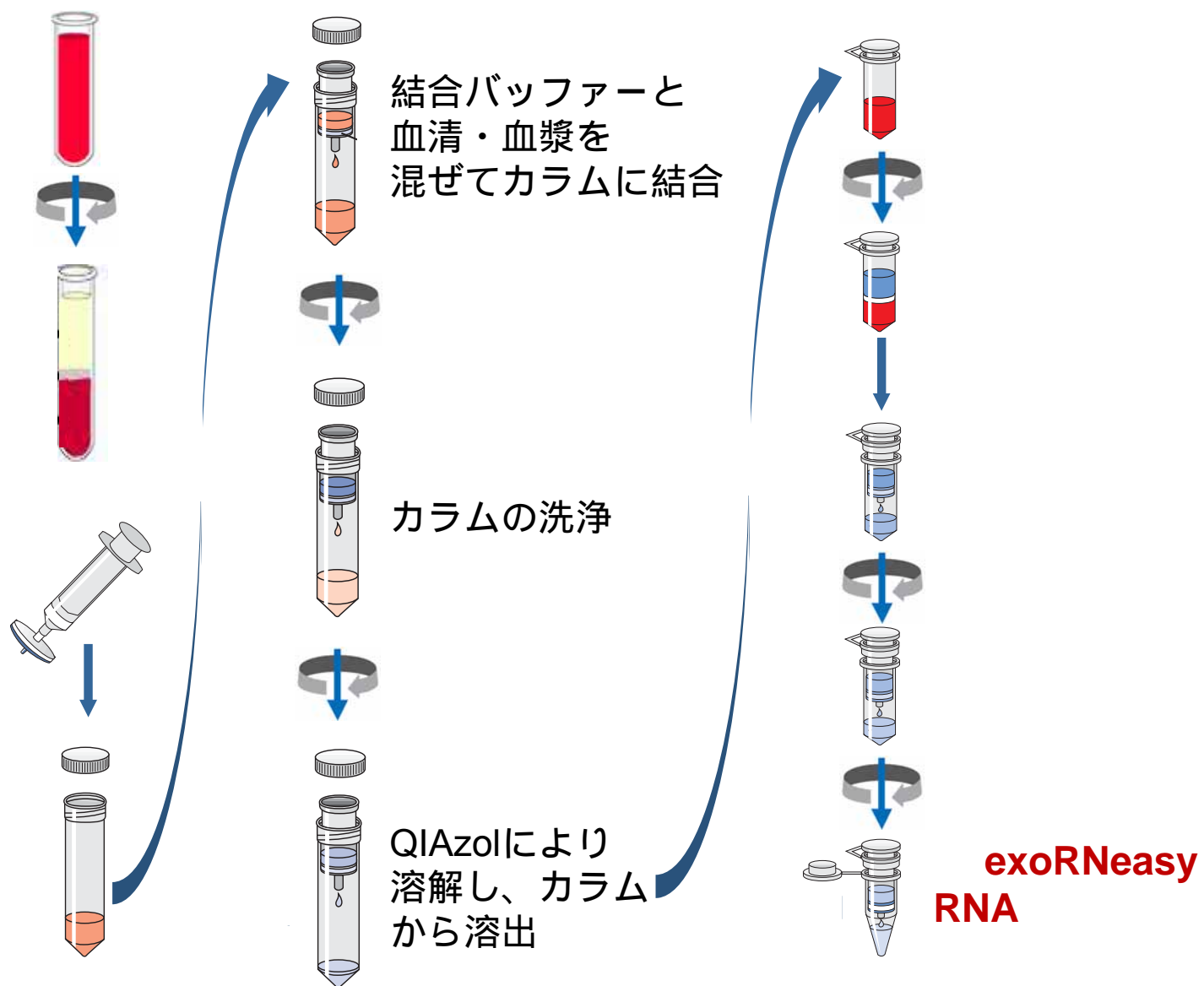
Arroyo JD et al. Proc Natl Acad Sci USA 2011

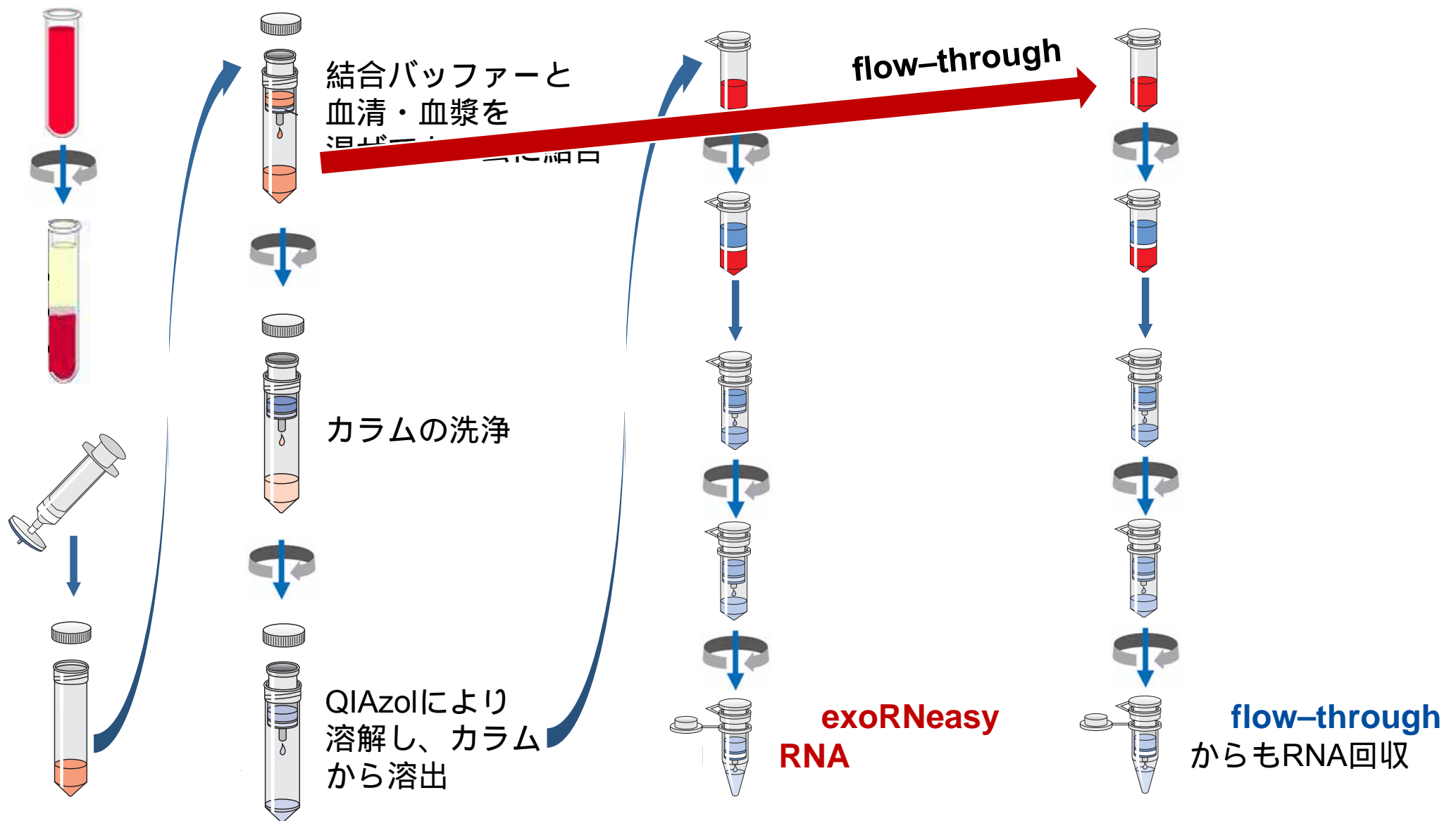
健常人の血漿をゲル濾過、各miRs の局在を解析

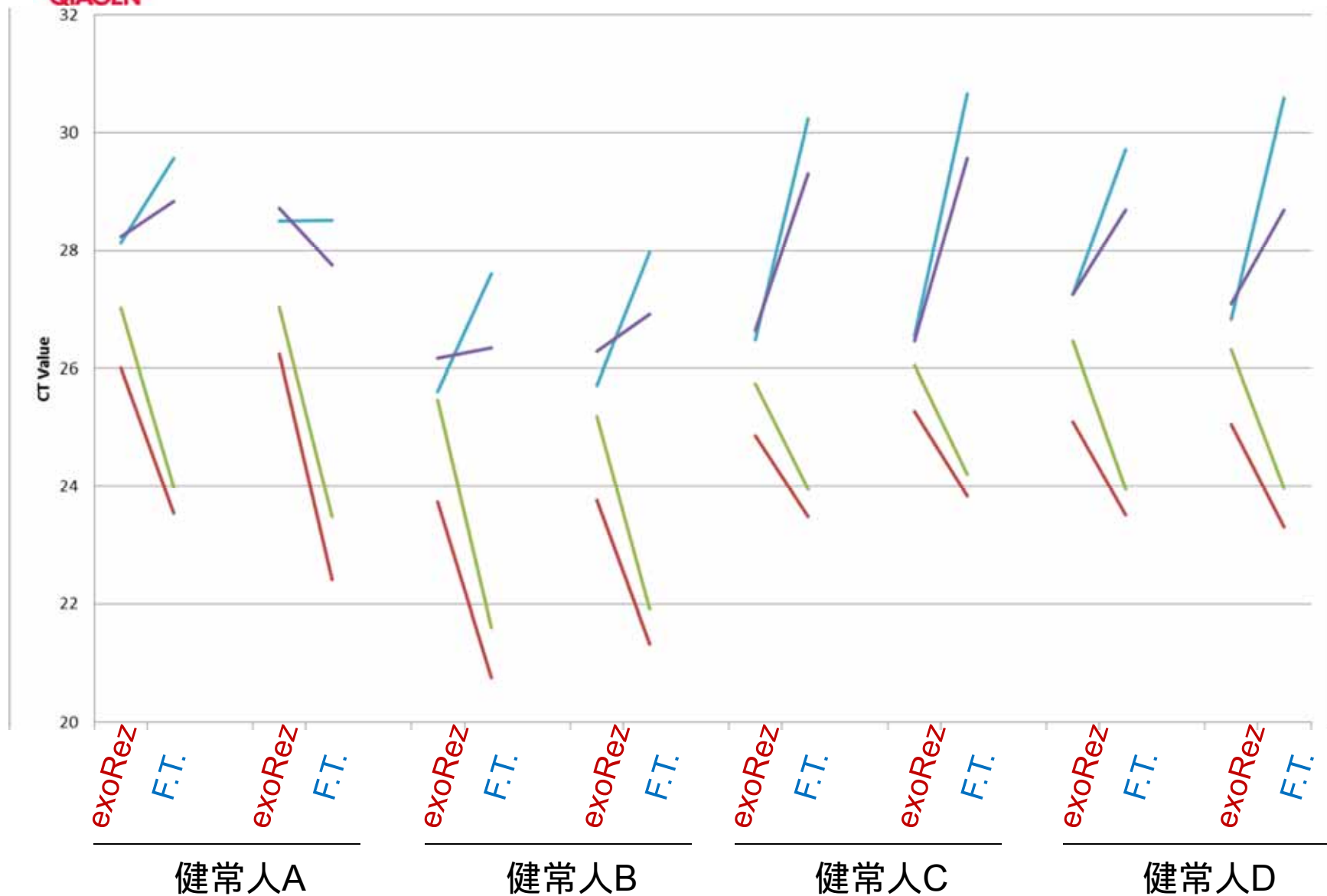


- ▶ miR-16, miR-92a => Ago2 分画に局在
- ▶ let-7a, miR-142 => EVs 分画に局在









- ▶ exoRNeasy は、EVs 特異的miRs が濃縮された
- ▶ Ago2 特異的 miRs は flow through に排除した

EVs 特異的miRNA
マーカー候補

疾病
Phenotype

QIAGEN's recommendation work flow

Sample
prep

miRNA PCR
Array

発現が変動した
miRNAs

mRNA target
予測

mRNA targetの
Pathway解析

miRNA Target
validation

Validation of the
pathway of interest

exoRNeasy
Serum/Plasma

miScript
PCR Array

IPA

Target
Protector

RT2 PCR
Array

- ✓ EVs 特異的RNA を精製できる
- ✓ Serum, Plasmaや培養上清用に検証された Protocol がある
- ✓ Spike-In Control により、信頼性のある結果を得られる

- ✓ mRNAの下流を探索し、病気との関連を見つける事が出来る

- ✓ miRNA Target の確認が、特異的に簡便に出来る

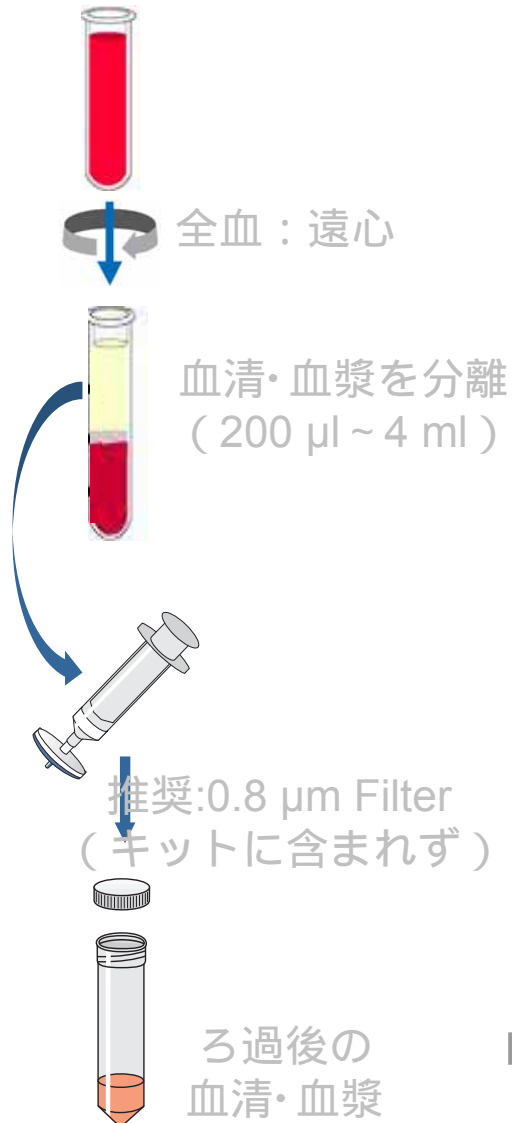
- ✓ Pathway 単位で発現を簡便に検証出来る
- ✓ Array Finder はマッチする Array を簡単に見つける事が出来る

QIAGEN New Products

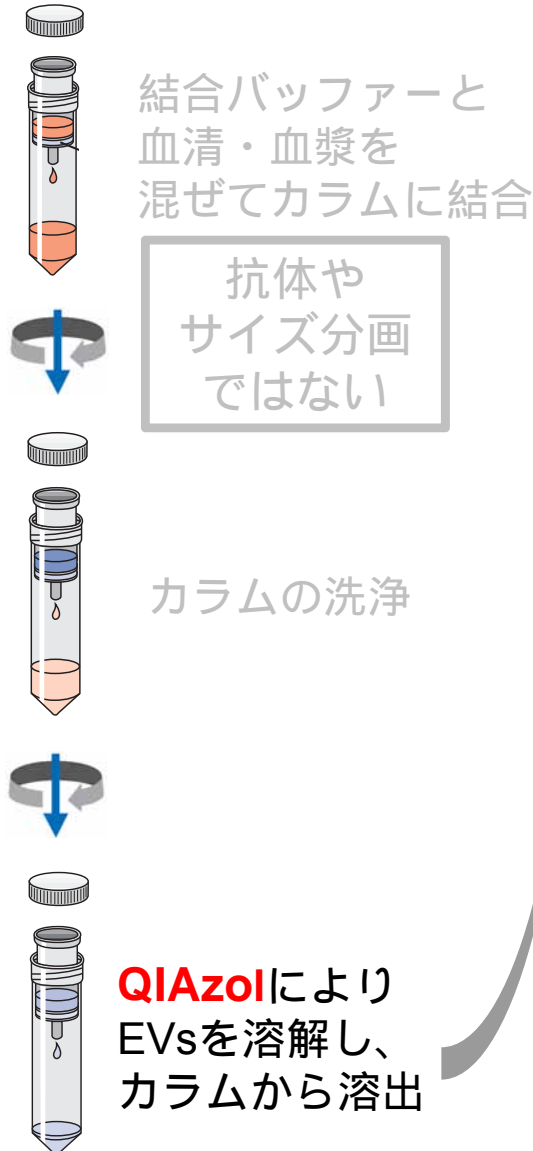
細胞外小胞 (Extracellular Vesicles: EVs) 特異的RNA 精製キット exoRNeasy Serum/Plasma Kits

所要時間1時間以内

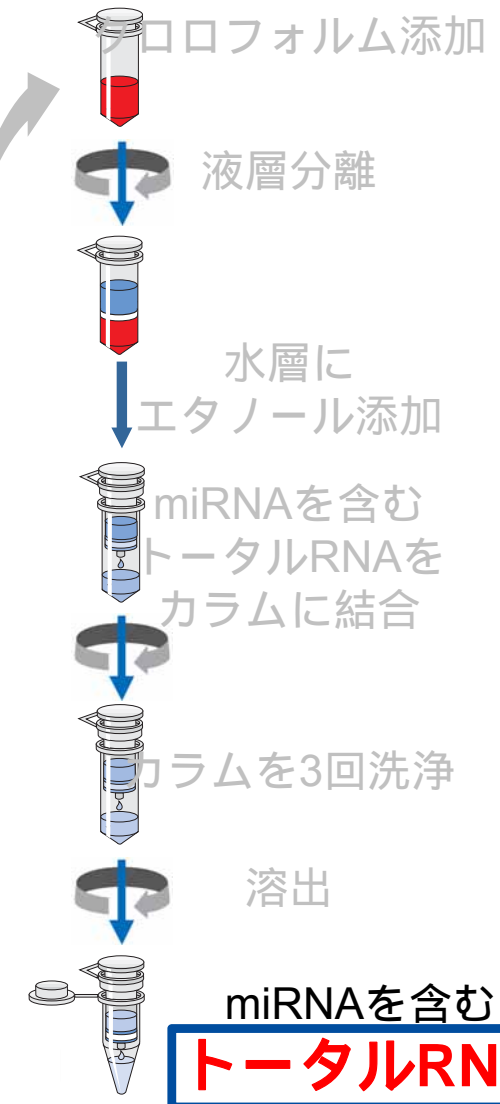
！キットはここから



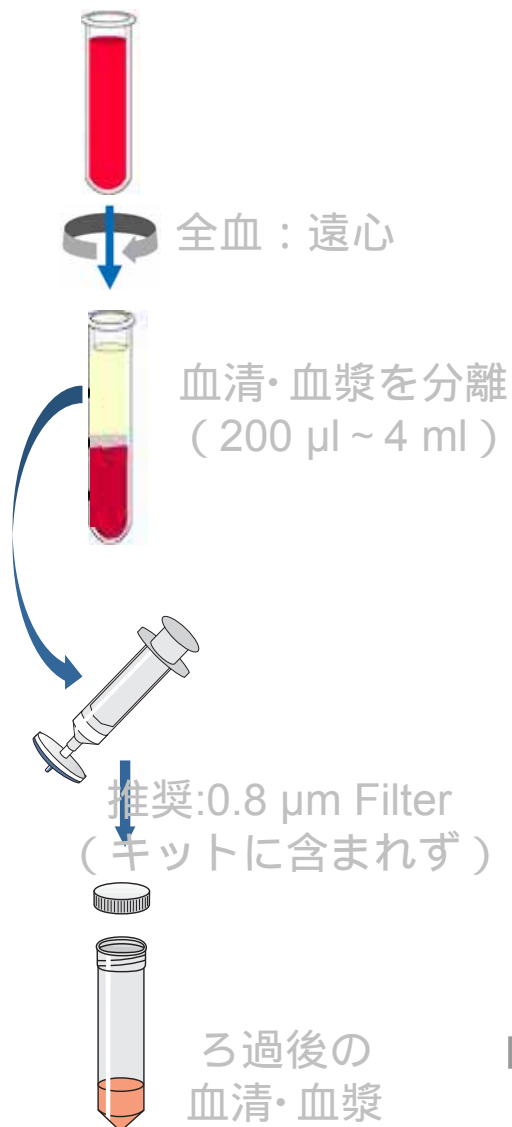
Maxi サイズカラム



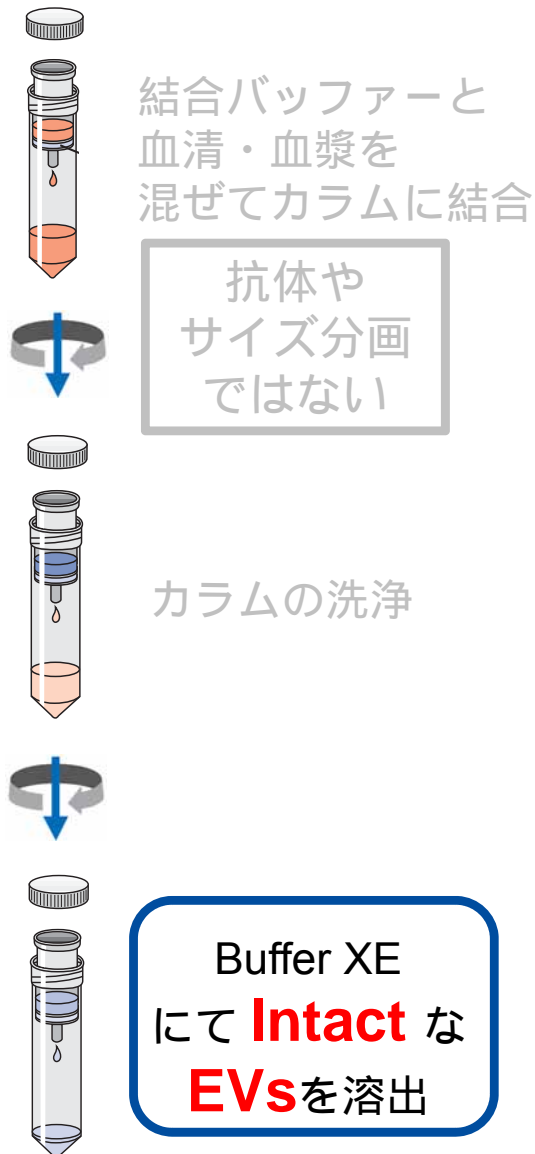
Mini サイズカラム



キットはここから



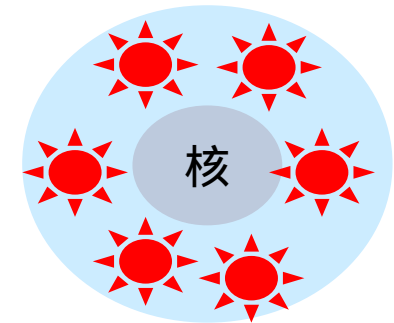
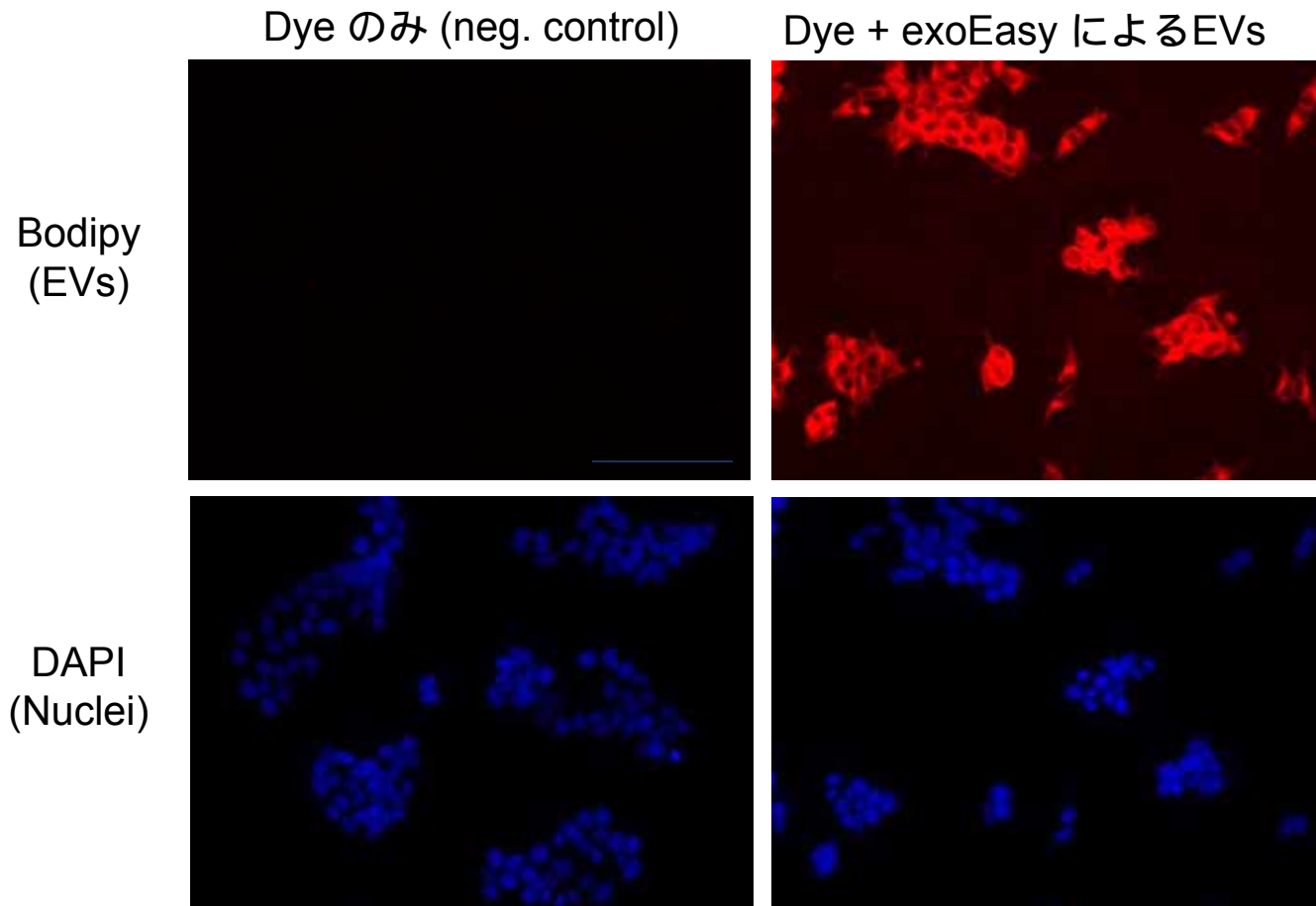
Maxi サイズカラム



所要時間約25分

exoEasy Kit : 精製したEVs の細胞への取り込み

- HEK 293T cells で産生されたEVs をexoEasy にて精製し、限外ろ過にてbuffer交換。Bodipy-ceramide を用いて標識
- 293T cells への取り込み: 1.45E9 particles (Nanosight により測定) を 2×10^4 cells にアプライし1時間インキュベーション



⇒ Bodipy 標識 EVs によって細胞質が染まり、細胞内に取り込まれた



miRNA バイオマーカー候補と疾病の関係を結ぶ work flow

